

Top

Left side

**TEST**

Right side

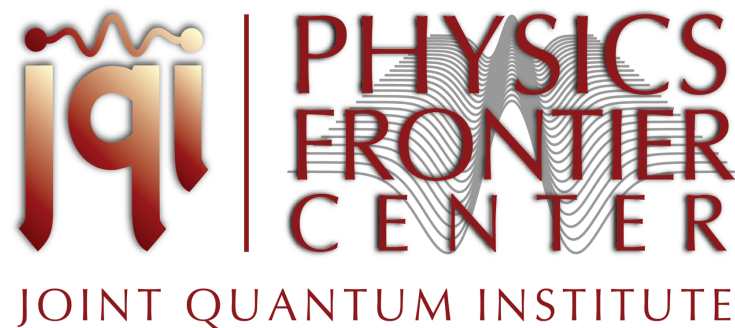
bottom

# Electrodinámica cuántica de cavidades y de guías de onda 5 lección

Postgrado, Física, UNAM, México, Marzo 2019

Luis A. Orozco

[www.jqi.umd.edu](http://www.jqi.umd.edu)



# 0. Una revisión de Electricidad y Magnetismo.

# Ecuaciones de Maxwell:

$$\nabla \cdot (\varepsilon_0 \mathbf{E} + \mathbf{P}) = 0,$$

$$\nabla \times \mathbf{E} = -\frac{\partial \mathbf{B}}{\partial t},$$

$$\nabla \times \mathbf{B} = \mu_0 \frac{\partial (\varepsilon_0 \mathbf{E} + \mathbf{P})}{\partial t},$$

$$\nabla \cdot \mathbf{B} = 0.$$

# La Ecuación de Onda:

$$\nabla \times (\nabla \times \mathbf{E}) = \nabla(\nabla \cdot \mathbf{E}) - \nabla^2 \mathbf{E}$$

$$= -\frac{\partial}{\partial t} (\nabla \times \mathbf{B}) = -\mu_0 \epsilon_0 \frac{\partial^2 \mathbf{E}}{\partial t^2} - \mu_0 \frac{\partial^2 \mathbf{P}}{\partial t^2}$$

$$-\nabla(\nabla \cdot \mathbf{E}) + \nabla^2 \mathbf{E} - \mu_0 \epsilon_0 \frac{\partial^2 \mathbf{E}}{\partial t^2} = \mu_0 \frac{\partial^2 \mathbf{P}}{\partial t^2}.$$

In free space,  $\nabla \cdot \mathbf{E} = 0$  and  $\mathbf{P} = 0$ ,

$$\nabla^2 \mathbf{E} - \frac{1}{v_0^2} \frac{\partial^2 \mathbf{E}}{\partial t^2} = 0$$

# Una nota sobre polarización

La ley de Gauss en espacio libre:

$$\nabla \cdot \vec{E} = 0$$

$$\nabla_T \cdot \vec{E} + \frac{2\pi}{\lambda} i E_Z = 0$$

Si existe un “gradiente transversal” en el campo radiado propagándose en z, existe una polarización longitudinal también en z

# La densidad de energía del campo electromagnético

La densidad de energía:

$$\frac{\mathcal{E}_{el}}{V} = \frac{\epsilon_0 \vec{E} \cdot \vec{E}}{2}$$

$$\frac{\mathcal{E}_{mag}}{V} = \frac{\vec{B} \cdot \vec{B}}{2\mu_0}$$

$$\frac{E}{B} = c = \left( \frac{1}{\epsilon_0 \mu_0} \right)^{1/2}$$

$$\frac{\mathcal{E}_{tot}}{V} = \frac{\epsilon_0 \vec{E} \cdot \vec{E}}{2} + \frac{\vec{B} \cdot \vec{B}}{2\mu_0} = \epsilon_0 \vec{E} \cdot \vec{E}$$

THE  
ASTROPHYSICAL JOURNAL  
AN INTERNATIONAL REVIEW OF SPECTROSCOPY  
AND ASTRONOMICAL PHYSICS

---

VOLUME XVII

JUNE 1903

---

NUMBER 5

THE PRESSURE DUE TO RADIATION.<sup>1</sup>

By E. F. NICHOLS and G. F. HULL.

1

# THE PRESSURE DUE TO RADIATION.<sup>1</sup>

By E. F. NICHOLS and G. F. HULL.

AS EARLY as 1619 Kepler<sup>2</sup> announced his belief that the solar repulsion of the finely divided matter of comets' tails was due to the outward pressure of light. On the corpuscular theory of light Newton<sup>3</sup> considered Kepler's idea as plausible enough, but he was of the opinion that the phenomenon was analogous to the rising of smoke in our own atmosphere. In the first half

In 1873 Maxwell,<sup>1</sup> on the basis of the electromagnetic theory, showed that if light were an electromagnetic phenomenon, pressure should result from the absorption or reflection of a beam of light. After a discussion of the equations involved, he says: "Hence in a medium in which waves are propagated there is a pressure in the direction normal to the waves and numerically equal to the energy in unit volume." Maxwell computed the pressure exerted by the Sun on the illuminated surface of the Earth, and added:

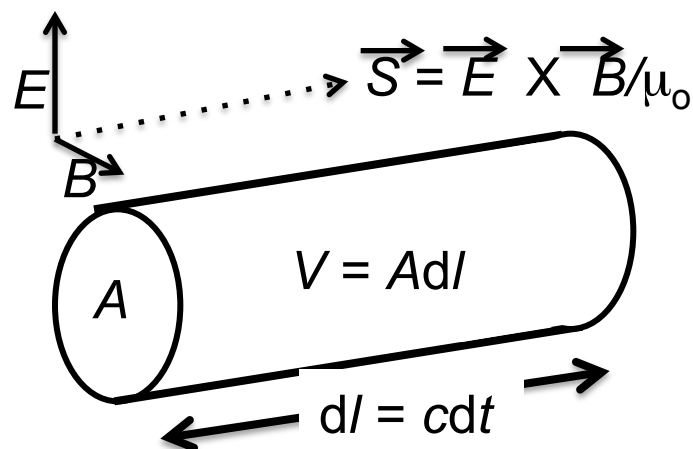
It is probable that a much greater energy of radiation might be obtained by means of the concentrated rays from an electric lamp. Such rays falling on a thin metallic disk, delicately suspended in a vacuum, might perhaps produce an observable mechanical effect.

# Presión del campo electromagnético

$$\frac{\text{Energía}}{\text{Volumen}} = \frac{\text{Fuerza} \cdot \text{distancia}}{\text{Area} \cdot \text{distancia}} = \text{Presión}$$

$$\frac{\mathcal{E}_{tot}}{V} = \text{Presión} = \epsilon_0 \vec{E} \cdot \vec{E}$$

Desde el punto de vista del Vector de Poynting:  
Flujo de la densidad de energía



$$\vec{S} = \frac{1}{\mu_0} \vec{E} \times \vec{B}$$

$$S = \frac{c}{\mu_0} B^2 = \epsilon_0 c E^2$$

$$\frac{Potencia}{Area} = \frac{Energía}{Area \cdot dt} = \frac{Energía}{Area \cdot dl} \frac{dl}{dt} = \frac{Energía c}{Volumen}$$

$$\frac{Potencia}{Area} = \frac{\mathcal{E}_{tot} c}{V} = Presión c = \varepsilon_0 c \vec{E} \cdot \vec{E}$$

Para que esta potencia pueda ser absorvida el campo debe estar haciendo trabajo en las cargas eléctricas en A

$$\frac{\mathcal{E}_{tot} c}{V} = q \vec{E} \cdot \vec{v}$$

$$v_{par \vec{E}} = \frac{\mathcal{E}_{tot} c}{V q E}$$

las cargas en esta Area A sienten la fuerza de Lorentz

$$\vec{F} = q \vec{v}_{par \vec{E}} \times \vec{B}$$

$$Presión = \frac{F}{A} = \frac{q \mathcal{E}_{tot} c}{V q E} \frac{E}{c} = \frac{\mathcal{E}_{tot}}{V} = \varepsilon_0 E^2$$

# Ejemplo numérico

La constante sola es aproximadamente  $1.3 \text{ kW/m}^2 = W_c/V$

La densidad de energía = presión = 
$$\frac{1.3 \times 10^3 \text{ W/m}^2}{3 \times 10^8 \text{ m/s}}$$

$$0.4 \times 10^{-5} \text{ W s/m}^3 = 0.4 \times 10^{-5} \text{ J/m}^3 = 4 \text{ mN/m}^2$$

(no muy grande)

recuerden:

$$P = F/A = W/V = W/Acdt$$

Impulso = momentum entregado =  $Fdt = W/c$

La dirección de la fuerza de Lorenz en este caso es perpendicular al campo eléctrico y al campo magnético, en la dirección de propagación de la onda

El campo magnético de la onda es responsable de la presión ejercida por el campo electromagnético.

Cuando les digan que el campo magnético no importa, se están olvidando de la presión de radiación, la base de buena parte del enfriamiento por láser y de los fenómenos mecánicos inducidos en átomos y moléculas por su interacción con la luz.

# El dipolo clásico

El átomo de Lorentz: el electrón oscila alrededor de un ión pesado

$$m\ddot{\mathbf{x}} + m\omega_0^2 \mathbf{x} = 0$$

Impulsado por un campo monocromático:

$$\mathbf{E}^{(+)}(t) = \hat{\varepsilon} E_0^{(+)} e^{-i\omega t}$$

Oscilador armónico impulsado

$$m\ddot{\mathbf{x}}^{(+)} + m\omega_0^2 \mathbf{x}^{(+)} = -\hat{\varepsilon} e E_0^{(+)} e^{-i\omega t}$$

$$\mathbf{x}^{(+)}(t) = \hat{\varepsilon} x_0^{(+)} e^{-i\omega t}$$

$$-m\omega^2 x_0^{(+)} + m\omega_0^2 x_0^{(+)} = -eE_0^{(+)}$$

Hay una resonancia (divergencia) y un cambio en la fase.

$$x_0^{(+)} = \frac{eE_0^{(+)}/m}{\omega^2 - \omega_0^2}.$$

El dipolo atómico es:

$$\mathbf{d}^{(+)} = -e\mathbf{x}^{(+)}$$

Con amortiguación (la carga se acelera por lo que irradia)::

$$m\ddot{\mathbf{x}}^{(+)} + m\gamma\dot{\mathbf{x}}^{(+)} + m\omega_0^2\mathbf{x}^{(+)} = -\hat{\varepsilon}eE_0^{(+)}e^{-i\omega t}.$$

$$x_0^{(+)} = \frac{eE_0^{(+)} / m}{\omega^2 - \omega_0^2 + i\gamma\omega}$$

En la resonancia hay un desfase de  $\pi / 2$  y no hay divergencia.

$$\delta = \tan^{-1} \left( \frac{\gamma\omega}{\omega_0^2 - \omega^2} \right)$$

Polarizability (scalar):

$$\alpha(\omega) = \frac{e^2/m}{\omega_0^2 - \omega^2 - i\gamma\omega}$$

Susceptibility (scalar)

$$\chi(\omega) = \frac{Ne^2/m\epsilon_0}{\omega_0^2 - \omega^2 - i\gamma\omega}$$

Relation between the polarizability and the dipoles

$$\mathbf{d}^{(+)} = \alpha(\omega) \mathbf{E}^{(+)} \text{ and } \mathbf{P}^{(+)} = \epsilon_0 \chi \mathbf{E}^{(+)}$$

## Complex refraction index

$$\tilde{n}(\omega) = \sqrt{1 + \chi(\omega)} \approx 1 + \frac{\chi(\omega)}{2}$$

$$\tilde{n}(\omega) \approx 1 + \frac{Ne^2}{2m\epsilon_0} \frac{(\omega_0^2 - \omega^2)}{(\omega_0^2 - \omega^2)^2 + \gamma^2\omega^2} + i \frac{Ne^2}{2m\epsilon_0} \frac{\gamma\omega}{(\omega_0^2 - \omega^2)^2 + \gamma^2\omega^2}$$

$$E(z) = E_0 \exp(ikz) = E_0 \exp(i\tilde{n}k_0 z)$$

$$= E_0 \exp(i\text{Re}[\tilde{n}]k_0 z) \exp(-\text{Im}[\tilde{n}]k_0 z)$$

Index of refraction and absorption coefficient

$$n(\omega) := \text{Re}[\tilde{n}(\omega)]$$

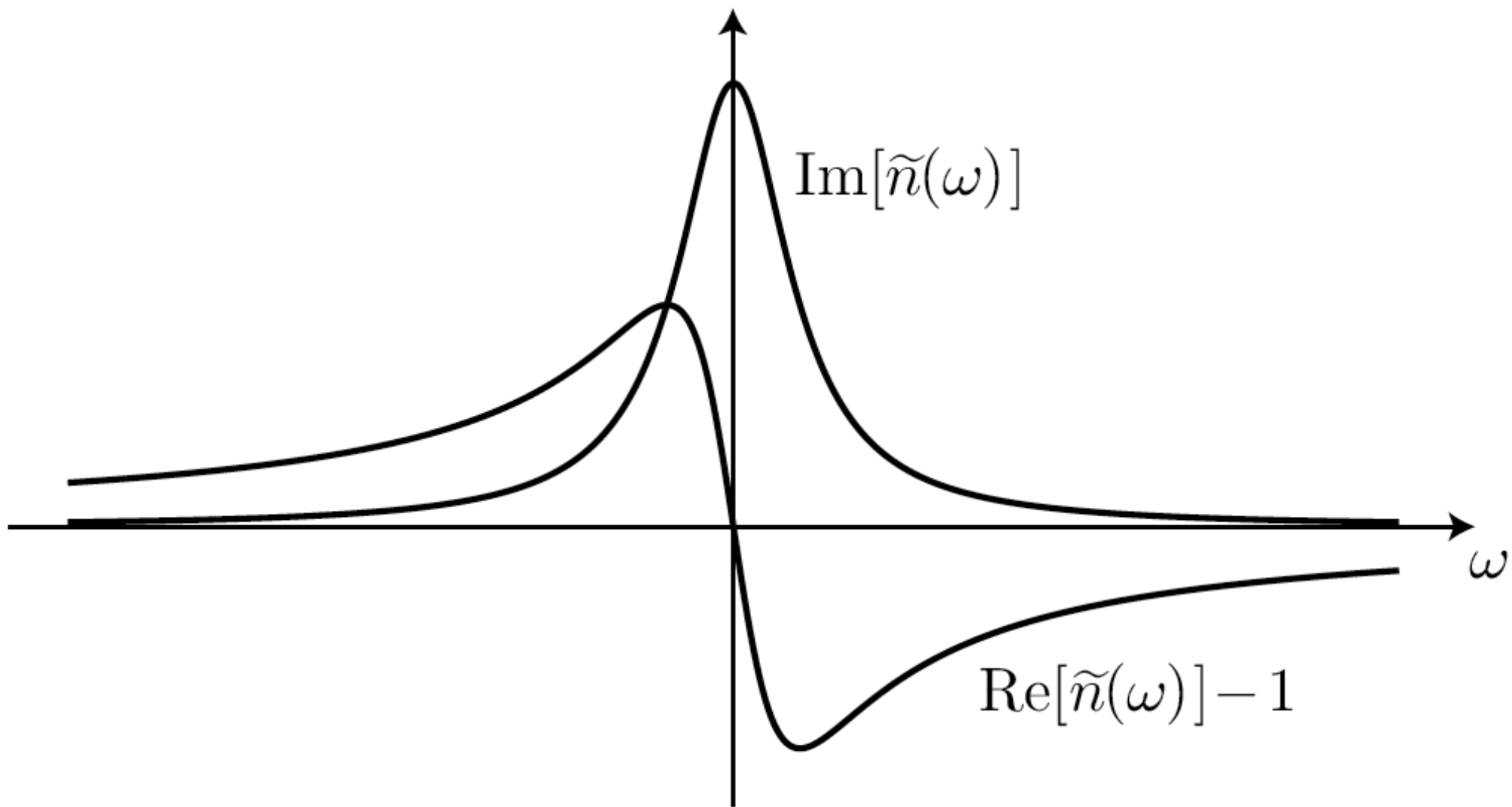
$$a(\omega) := 2k_0 \text{Im}[\tilde{n}(\omega)]$$

Cerca de resonancia  $|\omega - \omega_0| \ll \omega_0$

$$n(\omega) \approx 1 + \frac{Ne^2}{2m\epsilon_0} \frac{(\omega_0 - \omega)/2\omega}{(\omega_0 - \omega)^2 + (\gamma/2)^2}$$
$$a(\omega) \approx \frac{Ne^2}{m\epsilon_0 c \gamma} \frac{(\gamma/2)^2}{(\omega_0 - \omega)^2 + (\gamma/2)^2}.$$

Formas de línea lorentzianas (una como derivada de la otra). Relacionado con las relaciones de Kramers Kroning.

# Aproximación de la lorentziana cerca de resonancia:



Ley de Beer-Lambert para la transmisión de luz a través de un medio absorbente.

$$\frac{dI}{dz} = -aI \quad \Rightarrow \quad I(z) = I_0 e^{-az}$$

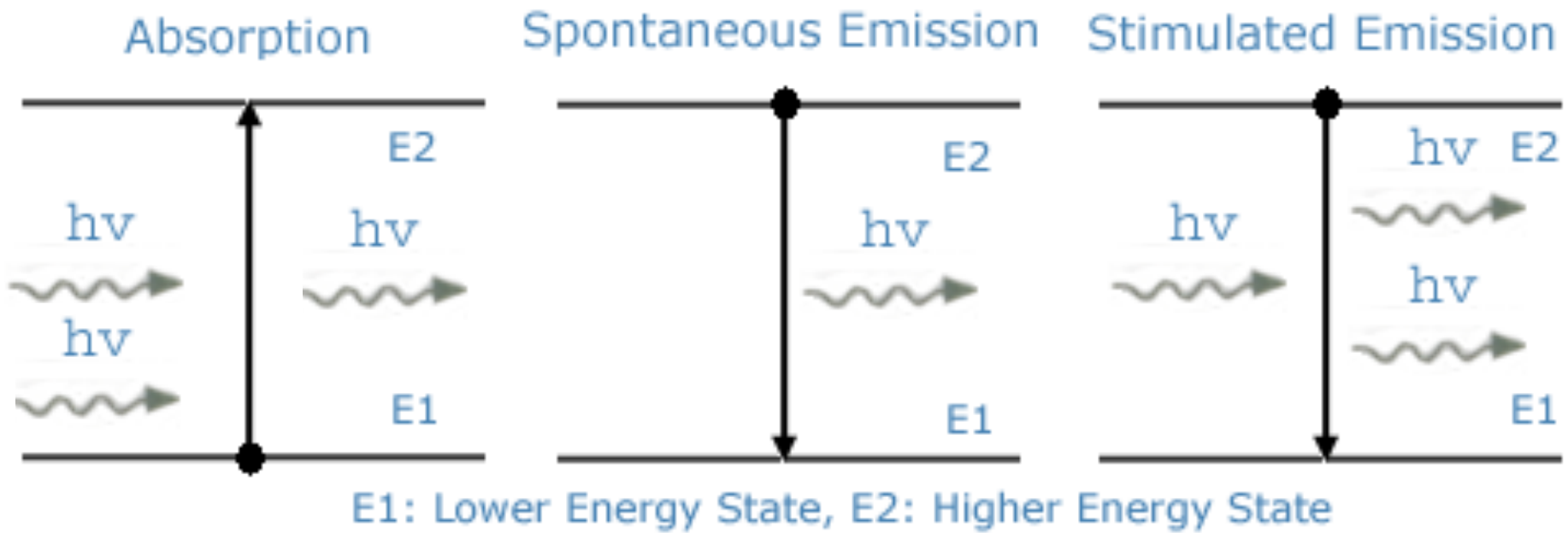
$$a(\omega_0) = \sigma(\omega_0)N = \sigma_0 N$$

$$\sigma_{\text{classical}}(\omega_0) = \frac{e^2 \omega^2}{m \epsilon_0 c} \frac{\gamma}{(\omega_0^2 - \omega^2)^2 + \gamma^2 \omega^2} \Big|_{\omega=\omega_0} = \frac{e^2}{m \epsilon_0 c \gamma}$$

Modelo de Abrahams Lorentz:

$$\gamma = \frac{e^2 \omega_0^2}{6 \pi m \epsilon_0 c^3}$$

1. Un átomo interactuando  
con luz en espacio libre.



La absorción y la emisión espontánea son reversión de tiempo una de la otra, se puede decir que esta es la parte clásica. La emisión espontánea es lo cuántico, eso es el salto.

Sección eficaz de un dipolo (el mismo resultado para un dipolo clásico que para un átomo de dos niveles):

$$\sigma_0 = \frac{3\lambda_0^2}{2\pi}$$

Esta es la “sombra” causada por un dipolo en un haz de luz, absorviendo en resonancia a la longitud de onda  $\lambda_0$ .

Energía debido a la interacción entre el dipolo y un campo eléctrico.

El elemento de matriz del dipolo entre dos estados está fijado por las propiedades de los estados (parte radial) y los coeficientes de Clebsch-Gordan de la parte angular de la integral. Es unas pocas veces  $a_0$  (radio de Bohr) la carga de electrones e entre el estado S de tierra y el primer estado excitado de P en los átomos alcalinos (Li, Rb).

$$\vec{d} = e \left\langle 5S_{1/2} \left| \vec{r} \right| 5P_{3/2} \right\rangle$$

## Ley de Beer-Lambert para la atenuación de la intensidad

$$\frac{dI}{dz} = -\alpha I \quad \text{si } \alpha \text{ es resonante e independiente}$$

de  $I$ ,  $\alpha_0$  (no se satura)

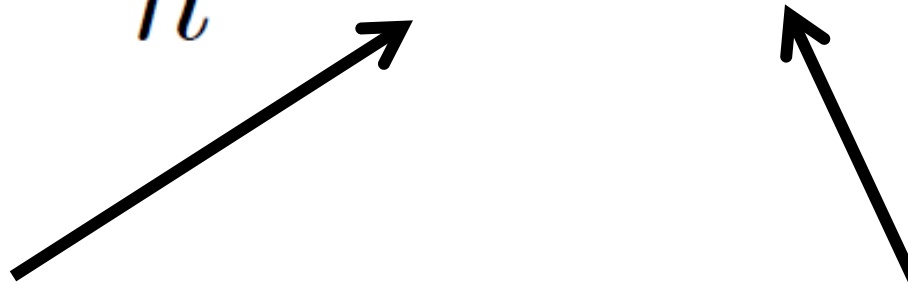
$$I = I_0 \exp(-\alpha_0 l)$$

$$\text{donde } \alpha_0 = \sigma_0 \rho$$

y  $\rho = N / V$  es densidad de dipolos en una longitud  $l$

# Tasa de decaimiento (Regla de oro de Fermi)

$$\gamma_{rad} \approx \frac{2\pi}{\hbar} \rho(k) \langle H_{int} \rangle^2$$



Densidad del espacio de fase    Interacción

# Tasa de decaimiento (Regla de oro de Fermi)

$$\gamma_0 = \frac{\omega_0^3 d^2}{\pi \epsilon_0 \hbar c^3}$$

Donde  $d$  es el momento dipolar

Intensidad de saturación:  
Un fotón cada dos vidas medias ( $\tau_0=1/\gamma_0$ )  
sobre la sección eficaz (resonante) del  
átomo.

$$I_s = \frac{\hbar\omega_0}{2\tau_0\sigma_0} = \frac{\pi}{3} \frac{\gamma_0\hbar\omega_0}{\lambda_0^2}$$

Si  $I=I_s$  la tasa de emisión estimulada es igual a la tasa de emisión espontánea (Frecuencia de Rabi  $\Omega$ ) y la población en el estado excitado es  $1/4$ .

$$\Omega = \frac{\vec{d} \cdot \vec{E}}{\hbar} = \gamma \sqrt{\frac{I}{I_s}}$$

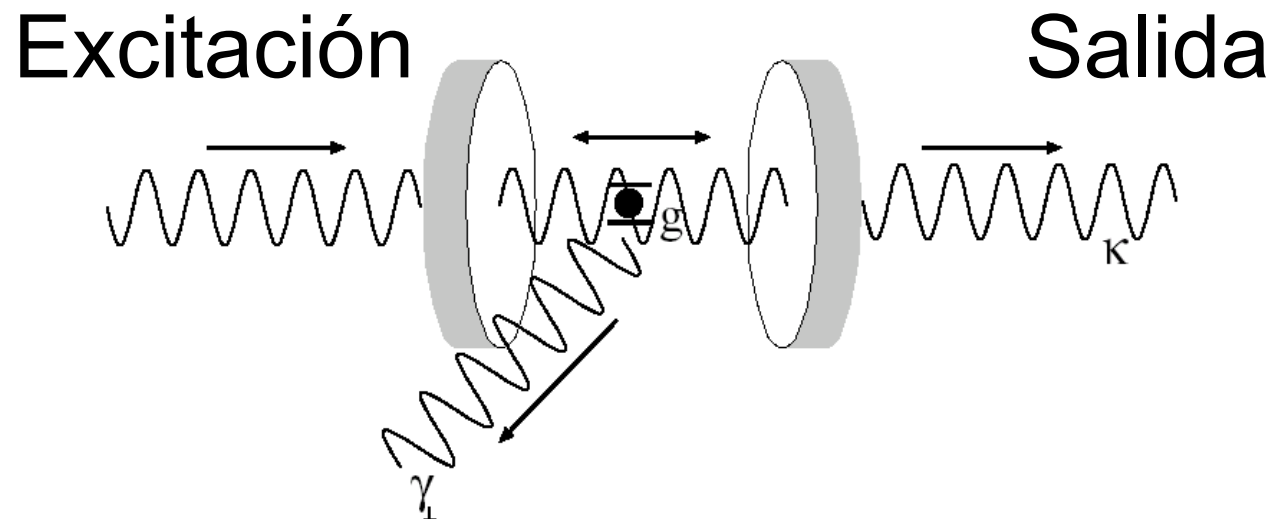
$$\text{Población excitada} = \frac{1}{2} \frac{\frac{I}{I_s}}{1 + \frac{I}{I_s}}$$

## 2. Átomos en cavidades electromagnéticas (tratamiento semicásico)

## Bibliografía:

1. Hyatt M. Gibbs, *Optical Bistability: Controlling Light with Light* (Academic Press, Orlando, 1985).
2. L. A. Lugiato, *Optical Bistability*, in *Progress in Optics*, edited by E. Wolf (North-Holland, Amsterdam, 1984), Vol. XXI, pp. 69-216.
3. *Cavity Quantum Electrodynamics*, edited by Paul R. Berman, *Advances in Atomic Molecular and Optical Physics Supplement 2*, Academic Press, Boston 1994.
4. S. Haroche and J. M. Raimond, *Exploring the Quantum: Atoms, Cavities, and Photons* (Oxford Univ. Press, 2006).
5. J. Gripp, S. L. Mielke, L. A. Orozco, and H. J. Carmichael, "Anharmonicity of the Vacuum Rabi Peaks in a Many-Atom System," *Phys. Rev. A* **54**, R3746 (1996).
6. S. L. Mielke, G. T. Foster, J. Gripp, and L. A. Orozco, "Time Response of a coupled atoms-cavity system," *Opt. Lett.* **22**, 325 (1997).
7. Gripp, S. L. Mielke, L. A. Orozco, "Evolution of the Vacuum Rabi Peaks in a detuned Atoms-Cavity System," *Phys. Rev. A* **56**, 3262 (1997).

# Acoplamiento de átomos y cavidades:



N átomos de dos niveles acoplados a un solo modo del campo electromagnético (g). Excitando la cavidad con disipación tanto en átomos ( $\gamma$ ) como en la cavidad ( $\kappa$ ).

Micro-ondas

Micromaser

la cavidad ( $\kappa$ ).

Luz visible

Cavity QED

Biestabilidad óptica

# Elemento absorbtivo

Un absorbedor saturable tiene un coeficiente de absorción que una función no lineal de la intensidad  $I$ :

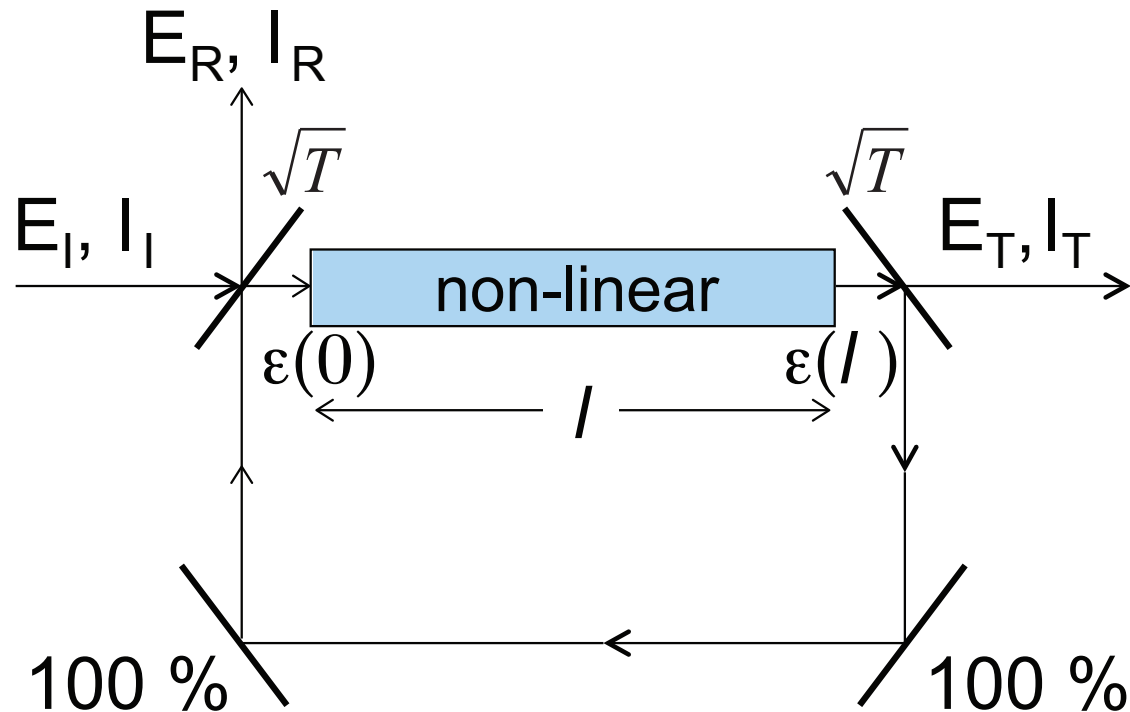
$$\alpha = \frac{\alpha_o}{1 + I / I_s}$$

Si la cavidad está en resonancia (el pico de la transmisión) a baja intensidad, la absorción es alta y la salida de luz es baja. La luz se pierde en fluorescencia. Si la intensidad es alta  $I \gg I_s$ , el medio no puede absorber toda la luz y la salida de la cavidad aumenta.

El campo dentro de la cavidad (anillo) proviene de la suma de la excitación mas lo que esté ya dentro.

$$\varepsilon_{n+1}(0) = \sqrt{T} E_I + \text{Re}^{-\alpha l} e^{iKL} \varepsilon_n(0)$$

Donde  $\varepsilon_{n+1}$  es el campo eléctrico después de la  $n+1$  vuelta dentro de la cavidad,  $L$  ( $l$ ) el la longitud de la vuelta (medio),  $\alpha$  es el coeficiente absorción y  $R=1-T$  la reflectividad del espejo (intensidad)



- El estado estable del campo eléctrico dentro de la cavidad debe ser constante tal que  $\varepsilon_{n+1}(0) = \varepsilon_n(0) = \varepsilon_0$

$$\therefore \varepsilon_0 = \sqrt{T} E_1 + \operatorname{Re}^{-\alpha l} e^{iKL} \varepsilon_0$$

rearreglando da:  $\varepsilon_0 = \frac{\sqrt{T} E_1}{(1 - \operatorname{Re}^{-\alpha l + iKL})}$

- El campo de salida (transmitido) es la transmitancia multiplicada por el campo eléctrico en el punto  $l$ .

$$E_T = \sqrt{T} \varepsilon(l) = \sqrt{T} \varepsilon_0 e^{(-\alpha+iK)l}$$

- la amplitud de transmisión es:

$$\frac{E_T}{E_I} = \frac{T e^{iK(l-L)}}{e^{\alpha l - iKL} - R}$$

# Biestabilidad Óptica

Coeficiente de absorción en resonancia si es saturable en función de  $I$ :

$$\alpha = \frac{\alpha_o}{1 + I / I_s}$$

si  $\alpha / I \ll 1$ , La transmisión en resonancia es:

$$\frac{E_T}{E_I} = \frac{1}{1 + \alpha l / T}$$

$$E_I = E_T \left[ 1 + \frac{\alpha_o l / T}{1 + I_T / I_s T} \right] \quad \text{con } I = \frac{I_T}{T}$$

La razón de las pérdidas en una vuelta atómicas ( $\alpha l$ ) caudad ( $T$ ) es la Cooperatividad (Si  $I=L$ )

$$C = \frac{\alpha_o l}{T} = \frac{\sigma_0 \rho l}{T} = \frac{\sigma_0 N l}{\text{Area}_{\text{mode}} l} \frac{1}{T} = \frac{\sigma_0 N}{\text{Area}_{\text{mode}}} \frac{1}{T}$$

Campo:  $y = x \left[ 1 + \frac{2C}{1 + x^2} \right]$  con  $y = \frac{E_I}{\sqrt{I_s}}$ ; y  $x = \frac{E_T}{\sqrt{T I_s}}$

Intensidad:  $Y = X \left[ 1 + \frac{2C}{1 + X} \right]^2$  con  $Y = \frac{E_I^2}{I_s}$ ; y  $X = \frac{E_T^2}{T I_s}$

A baja intensidad, la entrada y la salida están relacionados linealmente.

$$y = x (1+2C) ; x/y = 1/(1+2C) \text{ va como } 1/N$$

$Y=y^2$  ;  $X=x^2$  Las intensidades de entrada ( $Y$ ) y salida( $X$ )

$$Y=X(1+2C)^2 ; X/Y = 1/(1+2C)^2 \text{ va como } 1/N^2$$

Para  $X \gg 1$ ;  $I \gg I_s$ ,

$$y = x ; Y = X + 4C$$

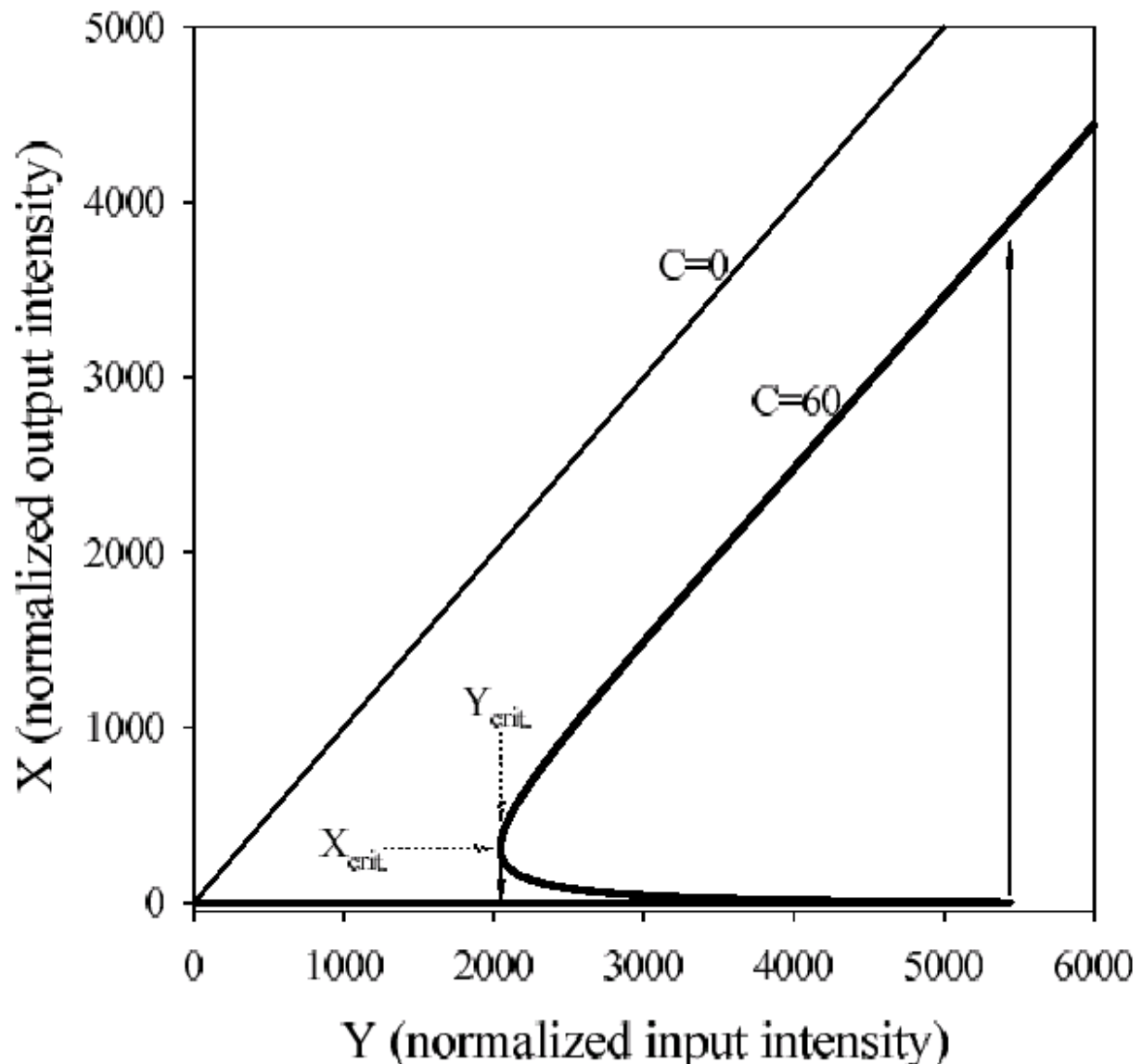
Casi como una cavidad vacía

A intensidad intermedia, cuando la saturación aparece.

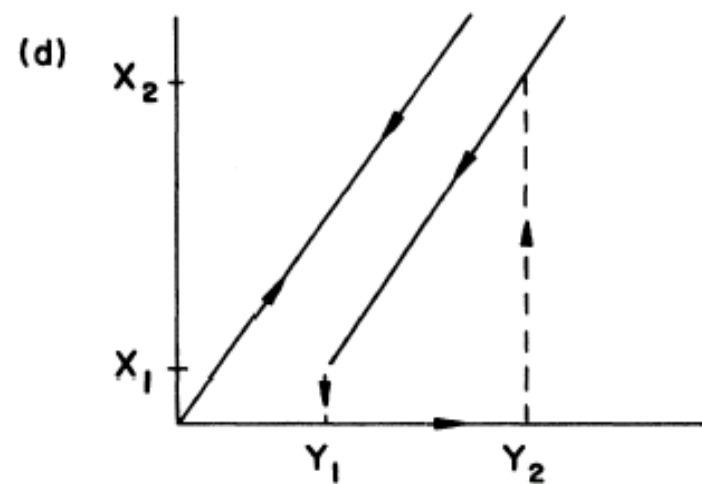
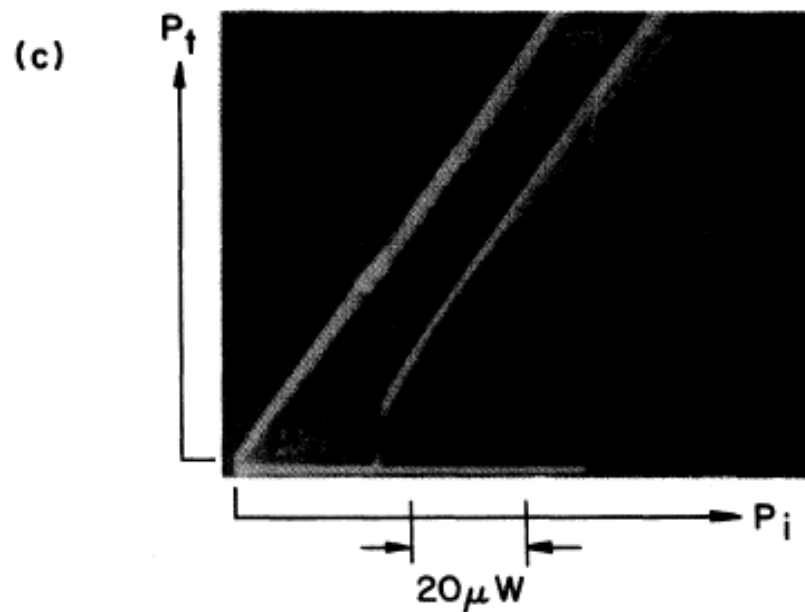
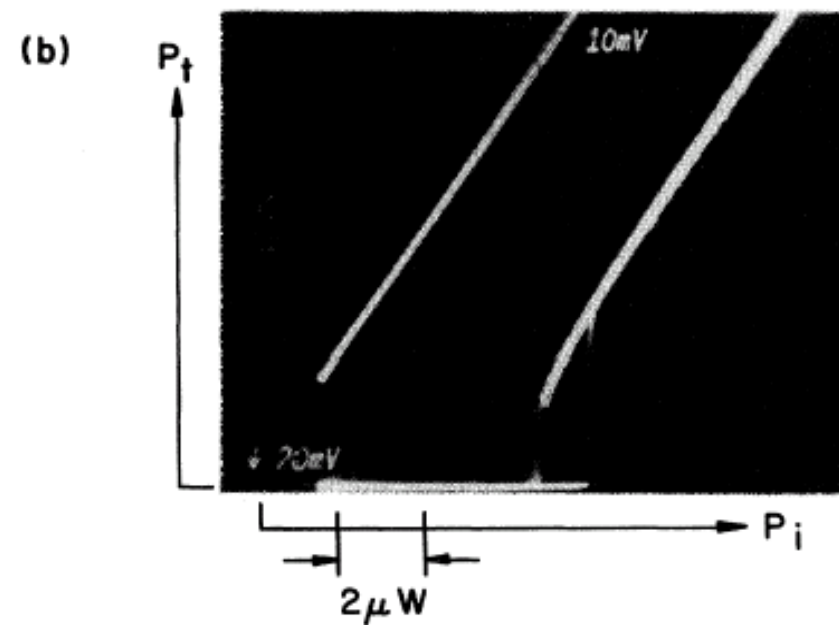
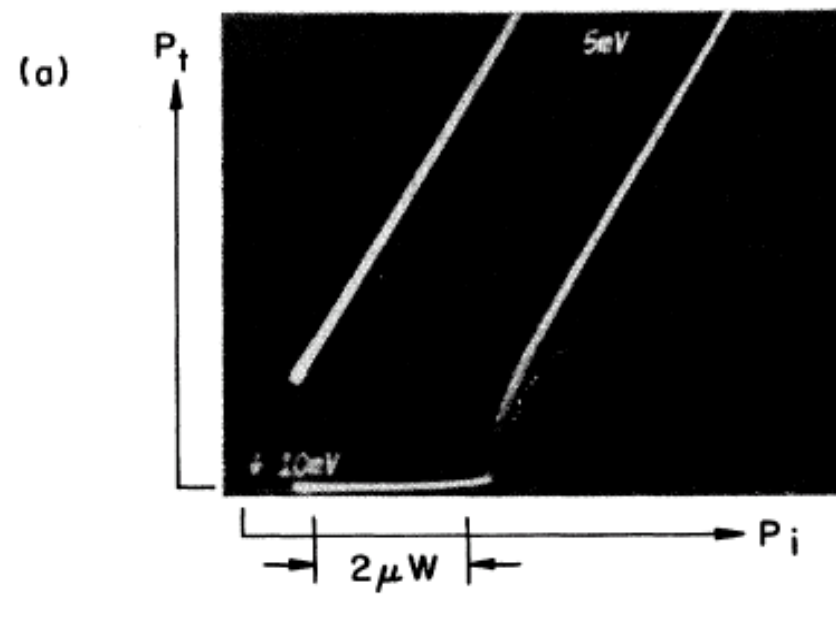
Sucede en este modelo simple para el caso cuando  $C > 4$ .  $C$  es equivalente al negativo del parámetro de bombeo del laser.

También puede ser interpretado como la razón entre el acoplamiento coherente ( $gN^{1/2}$ ) y los incoherentes ( $\kappa, \gamma$ ).

Respuesta entrada-salida para diferentes cooperatividades.  $C=0$  sin átomos,  $C=60$  con átomos. La intensidad de la excitación puede saturar los átomos y se recupera la relación lineal con pendiente uno entre  $Y$  y  $X$ .



# Aumentando el número de átomos en la cavidad:



Estado estable con desencaje atómico y de la cavidad:

$$y = x \left( 1 + \frac{2C}{1 + \Delta^2 + |x|^2} \right) + ix \left( \theta - \frac{2C\Delta}{1 + \Delta^2 + |x|^2} \right)$$

$$\Theta = \frac{\omega_c - \omega_l}{\kappa}; \quad \Delta = \frac{\omega_a - \omega_l}{\gamma/2}$$

Límite dispersivo (Kerr) cuando  $\Theta=0$  y  $\Delta \gg 1$  :

$$y = -ix \frac{2C\Delta}{1 + \Delta^2 + |x|^2}$$

Estado estable con desencaje atómico y de la cavidad:

$$y = x \left( 1 + \frac{2C}{1 + \Delta^2 + |x|^2} \right) + ix \left( \theta - \frac{2C\Delta}{1 + \Delta^2 + |x|^2} \right)$$

El espectro de transmisión :

$$\text{cuando } \omega_c = \omega_a \quad \Omega = (\gamma/2)\Delta = \kappa\Theta \quad \Omega_{V.R.} = g\sqrt{N} = \sqrt{C\kappa\gamma}$$

$$x = y \frac{\kappa(\gamma_{\perp} + i\Omega)}{(\kappa + i\Omega)(\gamma_{\perp} + i\Omega) + \Omega_{V.R.}^2 / (1 + \gamma_{\perp}^2 |x|^2 / (\gamma_{\perp}^2 + \Omega^2))}$$

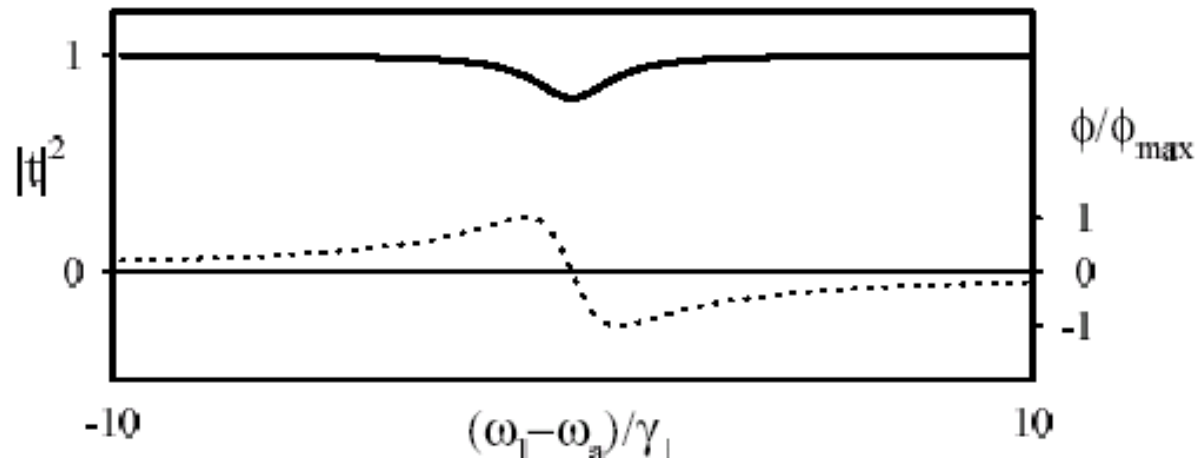
## Dos osciladores acoplados

$$\frac{x}{y} = \frac{A}{i\Omega - \Omega_1} + \frac{B}{i\Omega - \Omega_2}, \quad A = \kappa \frac{\gamma_\perp + \Omega_1}{\Omega_1 - \Omega_2}, \quad B = \kappa \frac{\gamma_\perp + \Omega_2}{\Omega_2 - \Omega_1},$$

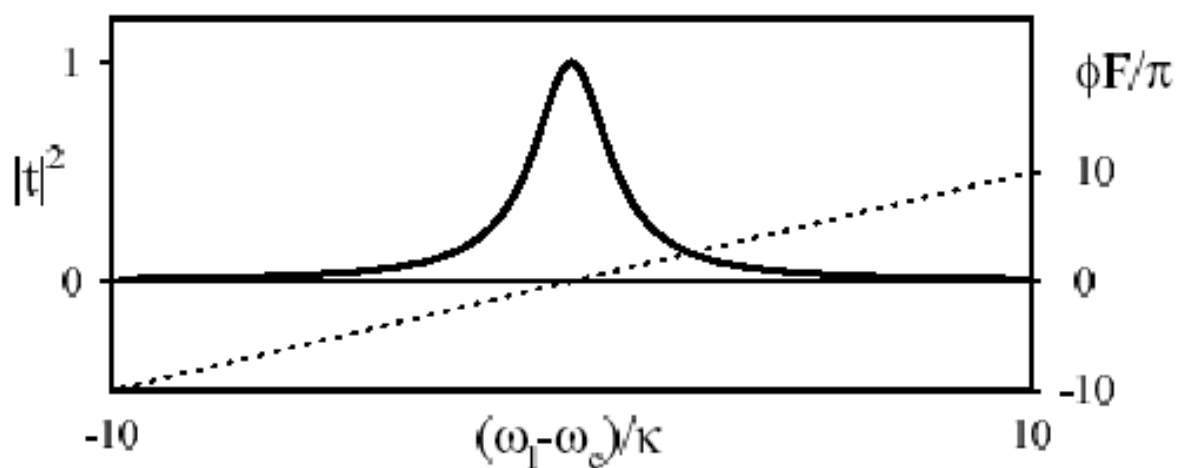
$$\Omega_{1,2} = -\frac{\kappa + \gamma_\perp}{2} \pm i\sqrt{-\left(\frac{\kappa - \gamma_\perp}{2}\right)^2 + \frac{\Omega_{V.R.}^2}{1 + \gamma_\perp^2 |x|^2 / (\gamma_\perp^2 + \Omega^2)}}.$$

Uno es más cavidad y el otro atómico

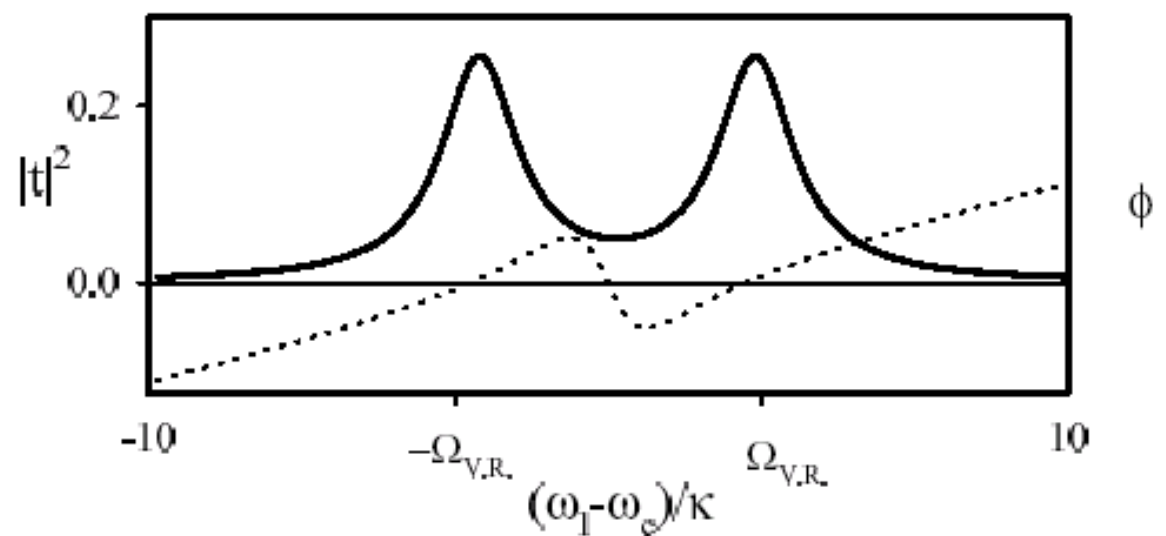
# Absorción de átomos



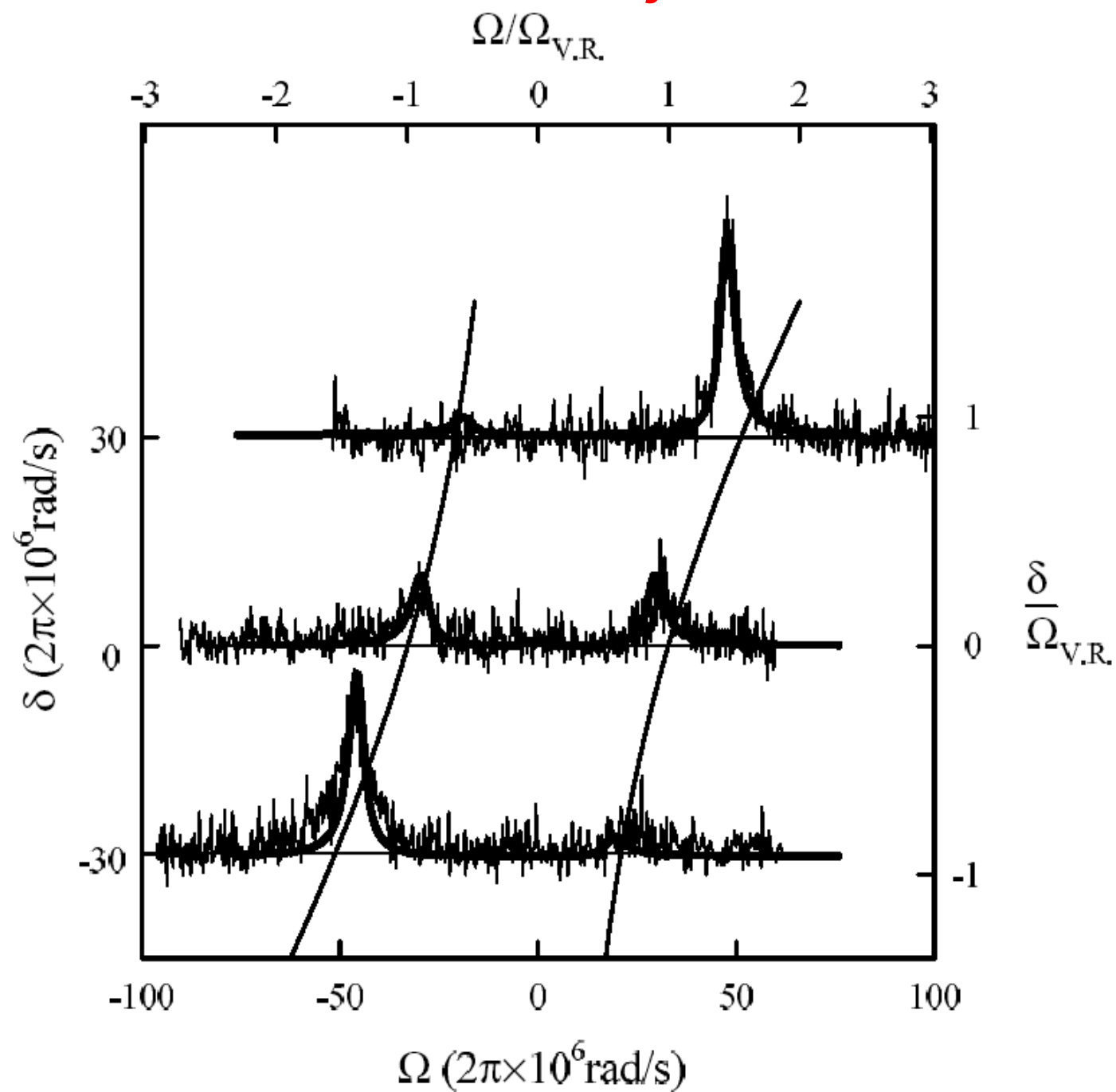
# Fabry Perot



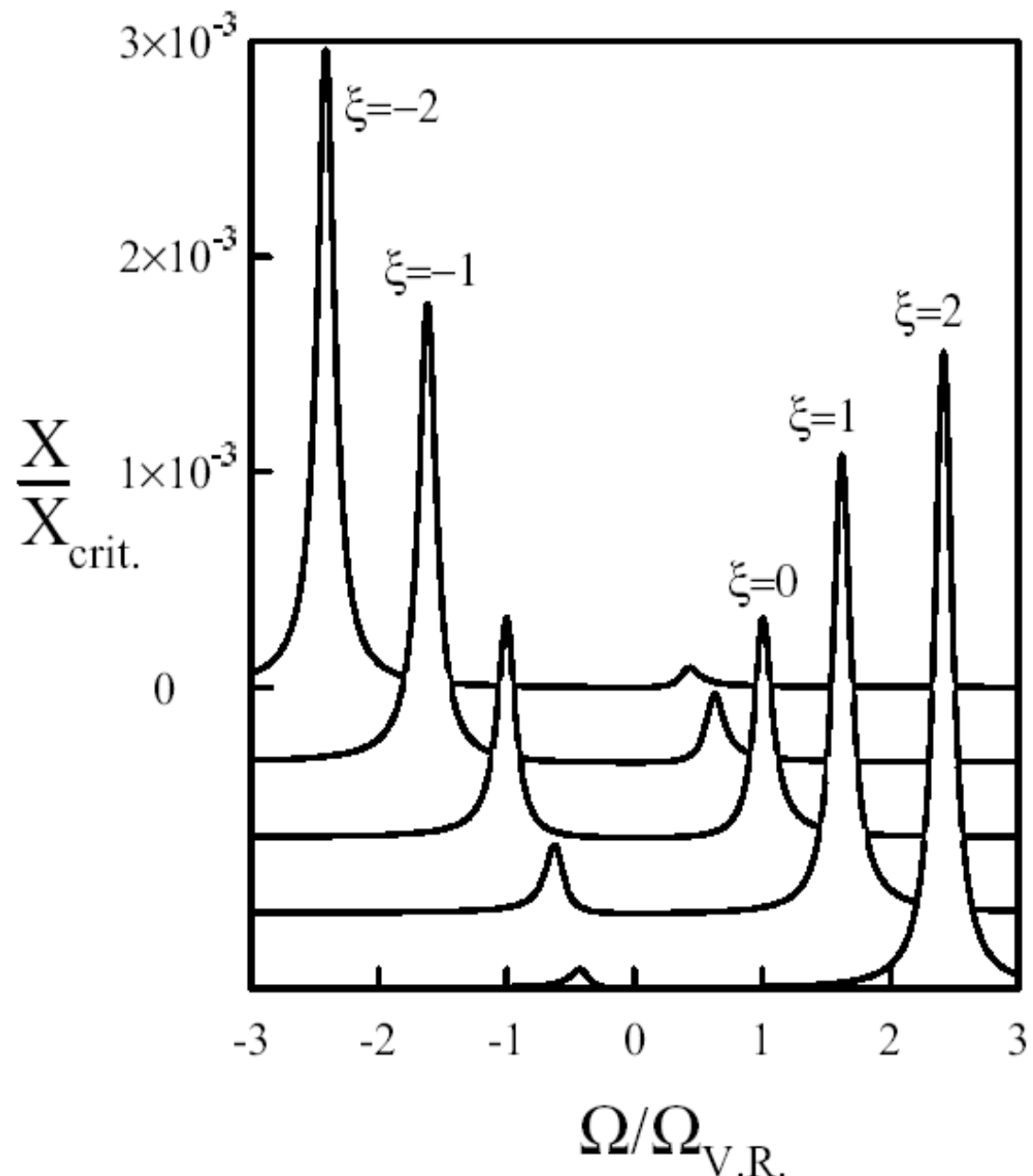
# Modos acoplados



# Espectro de transmisión a baja intensidad para diversos desencajes atómicos.



# Cálculo del espectro de transmisión para diferentes desanclajes atómicos.



# Las ecuaciones de Maxwell Bloch

# Optical Cavity QED

Quantum electrodynamics for pedestrians. No need for renormalization. One or a finite number of modes from the cavity.

ATOMS + CAVITY

Regimes:

Perturbative: Coupling<< Dissipation. Atomic decay suppressed or enhanced (cavity smaller than  $\lambda/2$ ), changes in the energy levels.

Non Perturbative: Coupling>>Dissipation  
Vacuum Rabi Splittings. Conditional dynamics.

Dipolar coupling between the atom and the mode  
of the cavity:

$$g = \frac{d \cdot E_\nu}{\hbar}$$

The electric field associated with one photon on average in the cavity with volume:  $V_{eff}$  is:

$$E_\nu = \sqrt{\frac{\hbar\omega}{2\epsilon_0 V_{eff}}}$$

Radiation field:

$$\frac{\partial}{\partial t} \langle \hat{a} \rangle = -\kappa(1 + i\theta) \langle \hat{a} \rangle + \sum_{j=1}^N g_j \langle \hat{\sigma}_j^- \rangle + \mathcal{E},$$

Atomic polarization:

$$\frac{\partial}{\partial t} \langle \hat{\sigma}_j^- \rangle = -\gamma_{\perp}(1 + i\Delta) \langle \hat{\sigma}_j^- \rangle + g_j \langle \hat{a} \rangle \langle \hat{\sigma}_j^z \rangle,$$

Atomic inversion:

$$\frac{\partial}{\partial t} \langle \hat{\sigma}_j^z \rangle = -\gamma_{\parallel} \left( \langle \hat{\sigma}_j^z \rangle + 1 \right) - 2g_j \left( \langle \hat{a} \rangle \langle \hat{\sigma}_j^+ \rangle + \langle \hat{a}^\dagger \rangle \langle \hat{\sigma}_j^- \rangle \right).$$

The cavity and atomic detunings  $\theta$  and  $\Delta$  are defined as

$$\theta = \frac{\omega_c - \omega_l}{\kappa} \quad \text{and} \quad \Delta = \frac{\omega_a - \omega_l}{\gamma_{\perp}}.$$

$$\begin{aligned}
 \dot{x} &= \kappa (+2Cp + y - (i\Theta + 1)x) \\
 \dot{p} &= \gamma(-(1 + i\Delta)p + xD)/2 \\
 \dot{D} &= \gamma(2(1 - D) - (x^*p + xp^*))
 \end{aligned}$$

$$\Theta = \frac{\omega_c - \omega_l}{\kappa}; \quad \Delta = \frac{\omega_a - \omega_l}{\gamma/2}$$

$\gamma$  is the rate of spontaneous emission  
(energy decay)

$\kappa$  is the rate of escape of the field  
 $\omega_{a,c,l}$  refer to atom, cavity, laser

Low intensity  $x \ll 1$ : with  $D=0$ , resonant  $\Delta=0$  and  $\Theta=0$  weakly driven.

Two coupled oscillators

$$\dot{x} = \kappa(-x + 2Cp + y)$$

$$\dot{p} = \gamma(-p - x)$$

Steady state

$$y = x - 2Cp$$

$$p = -x$$

$$y = x(1 + 2C)$$

$$\kappa \gg \gamma \quad \dot{p} = -\gamma(1 + 2C)p - \gamma y$$

$$\gamma \gg \kappa \quad \dot{x} = -\kappa(1 + 2C)x + \kappa y$$

Enhanced  
emission

Steady state with detuning and at all intensities:

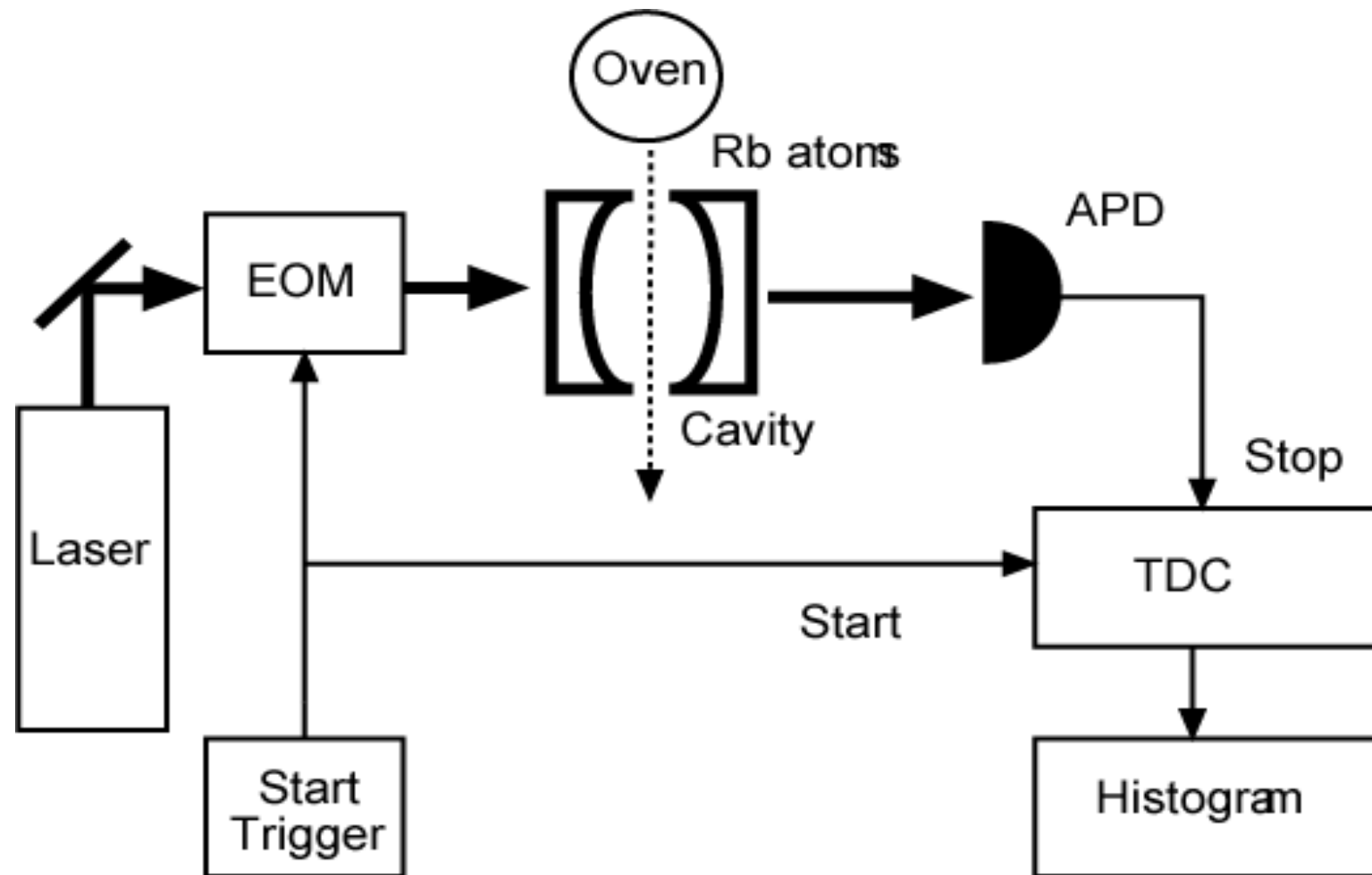
$$y = x \left( 1 + \frac{2C}{1 + \Delta^2 + |x|^2} \right) + ix \left( \theta - \frac{2C\Delta}{1 + \Delta^2 + |x|^2} \right)$$

Dispersive limit when  $\Theta=0$  and  $\Delta \gg 1$  :

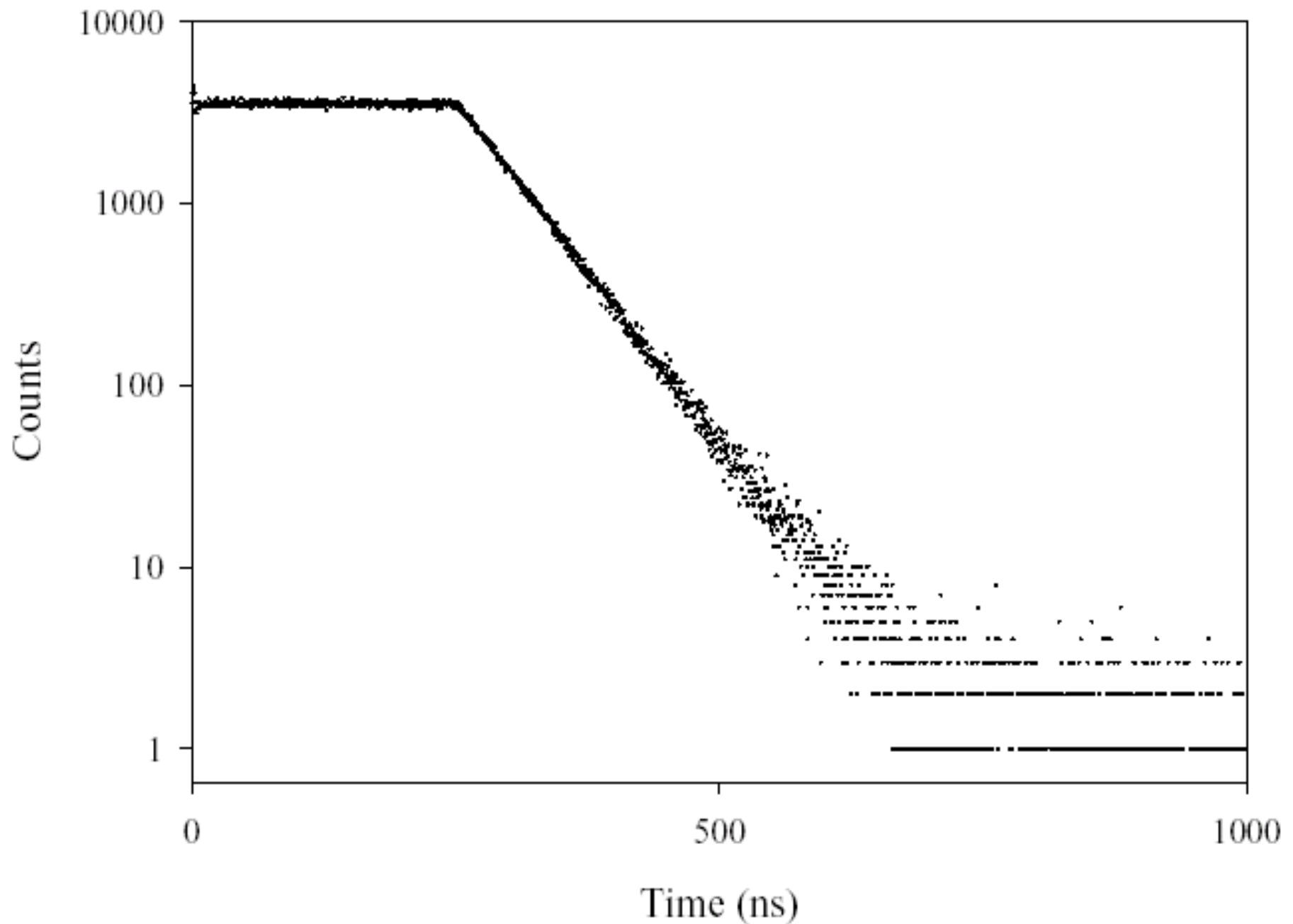
$$y = -ix \frac{2C\Delta}{1 + \Delta^2 + |x|^2}$$

# Respuesta a excitación escalón

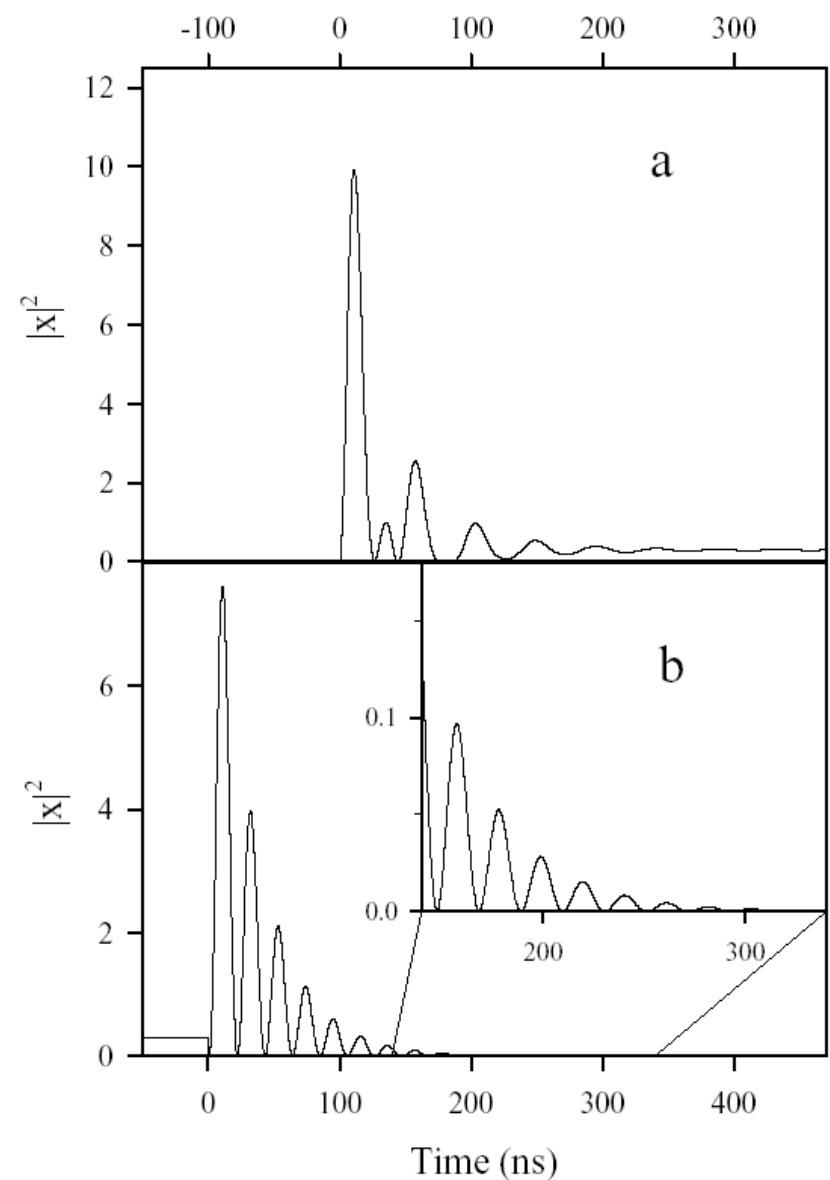
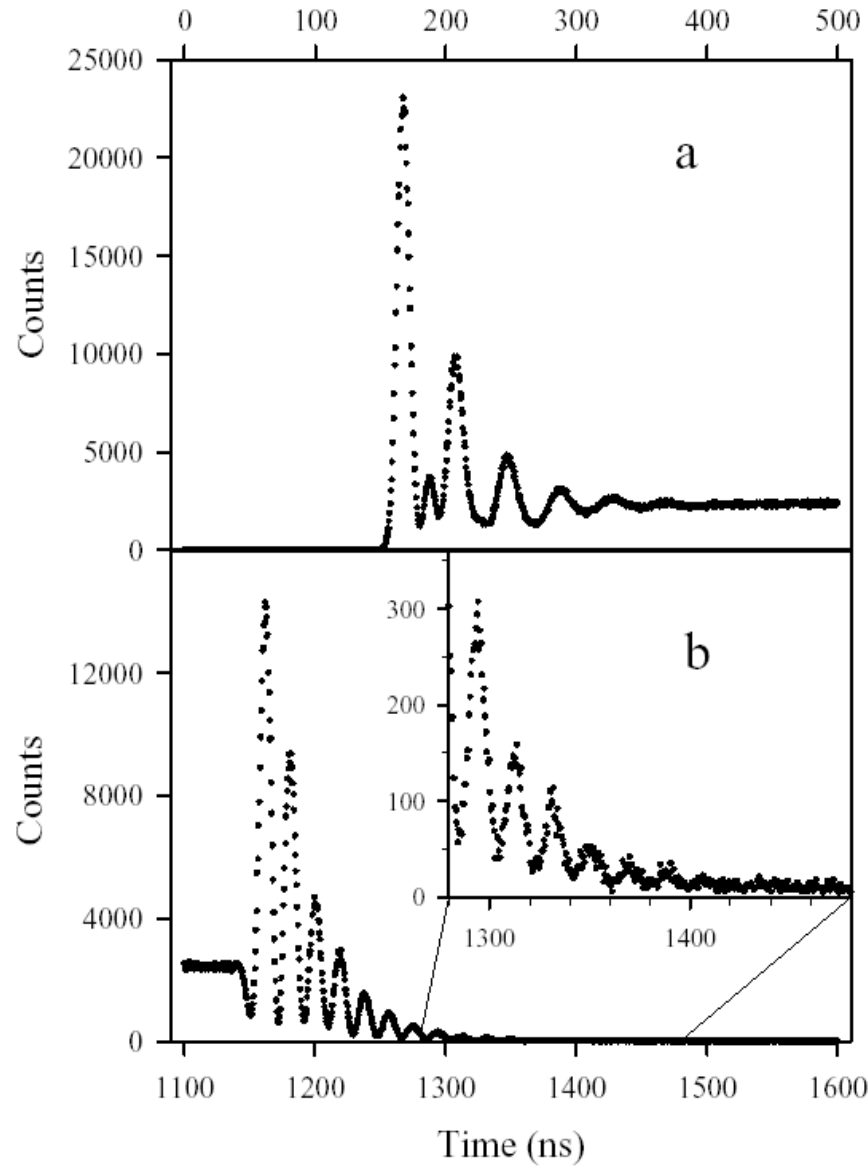
# Estudio de la dinámica del sistema (respuesta a excitación con función escalón).



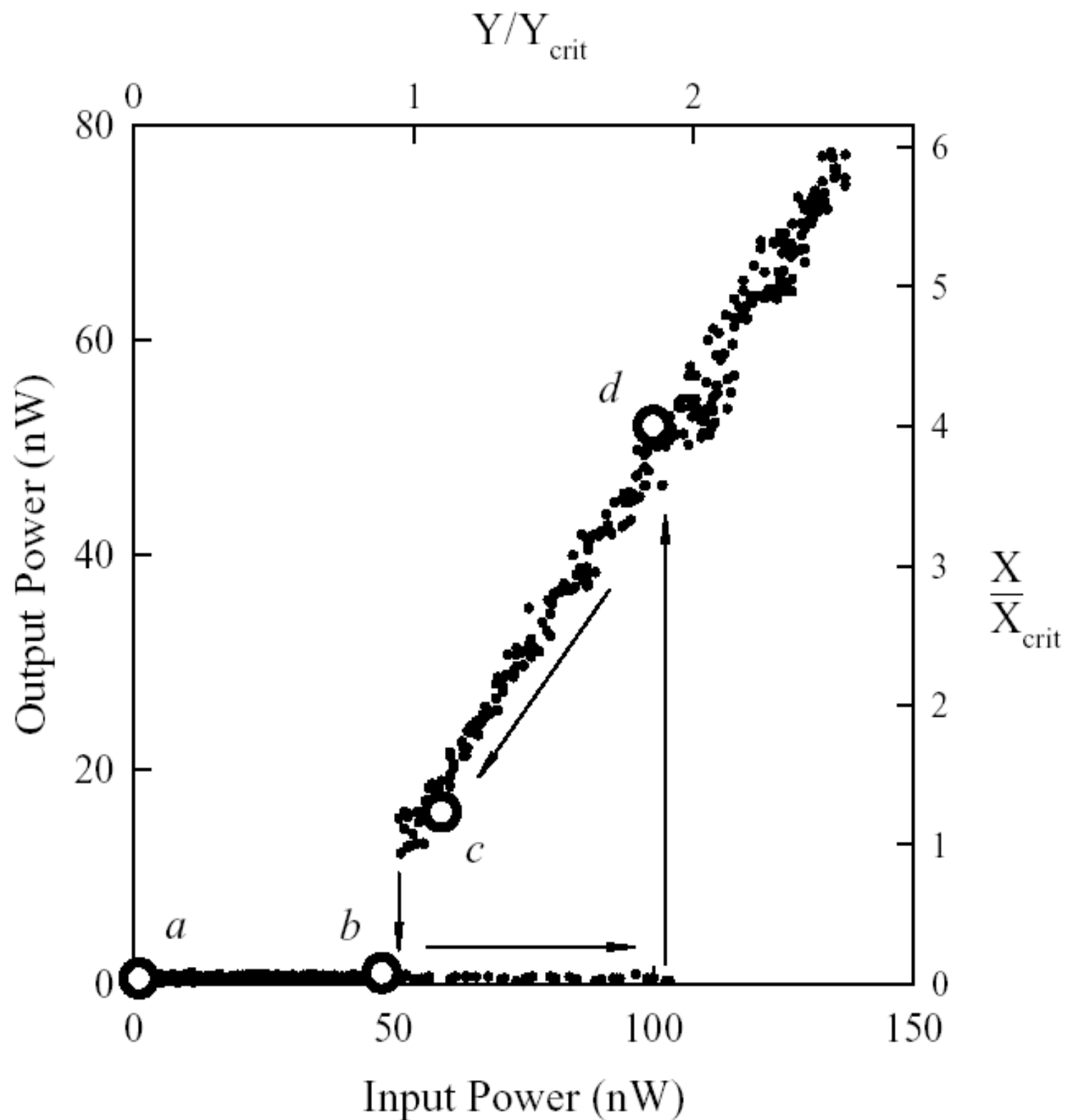
# Decaimiento de la cavidad vacía



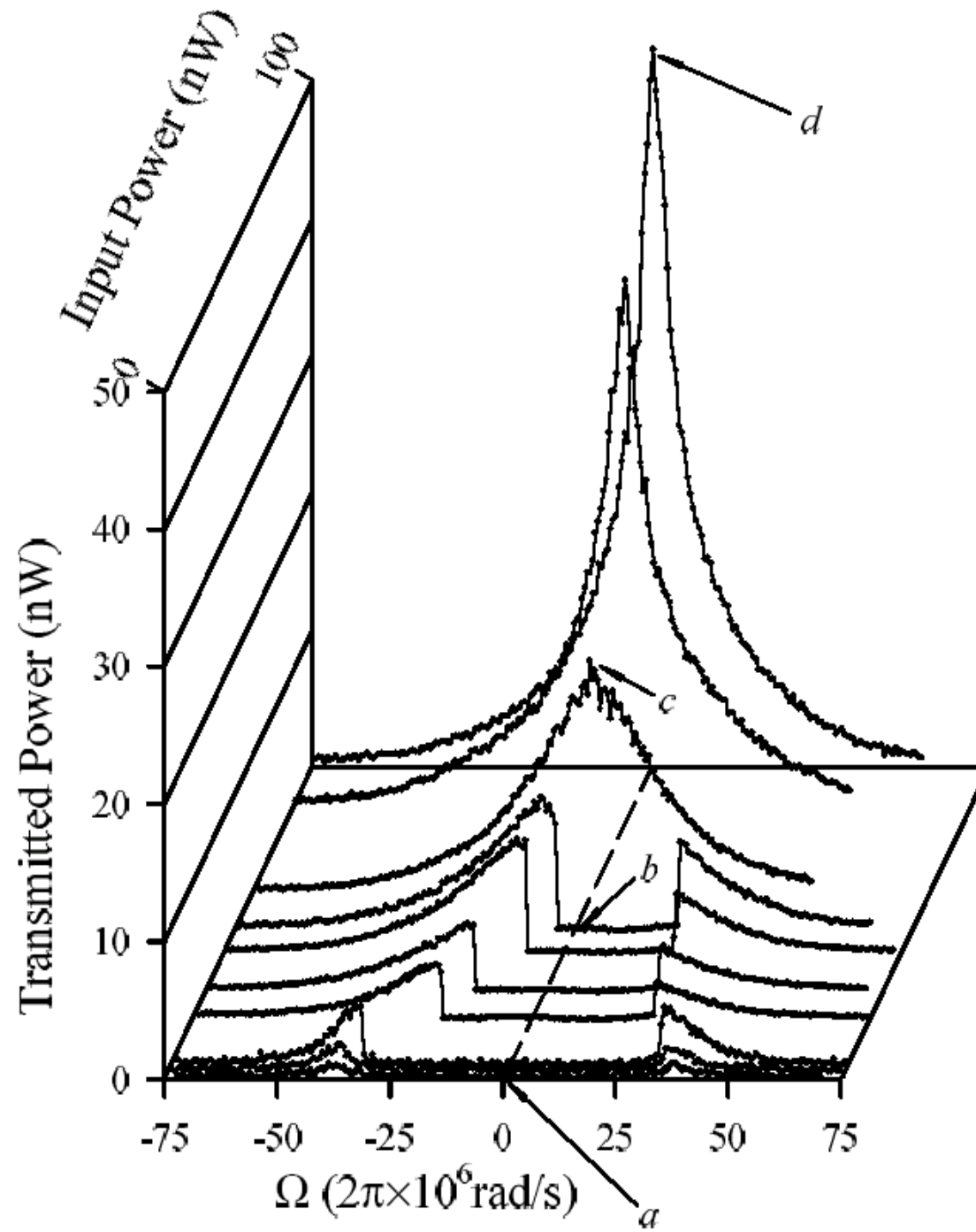
# Respuesta de la cavidad con átomos (función escalón)



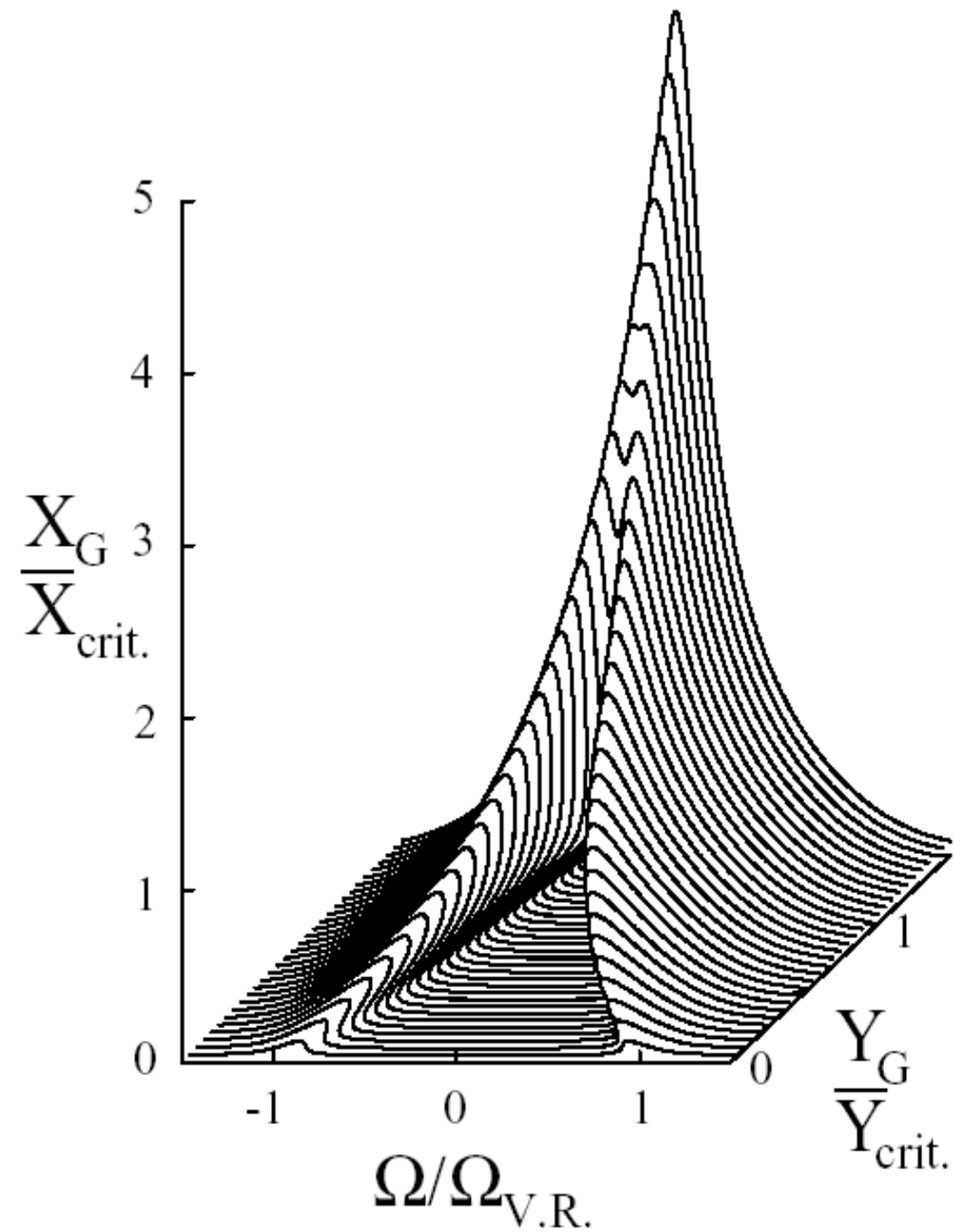
Espectro de transmisión con intensidad arbitraria.

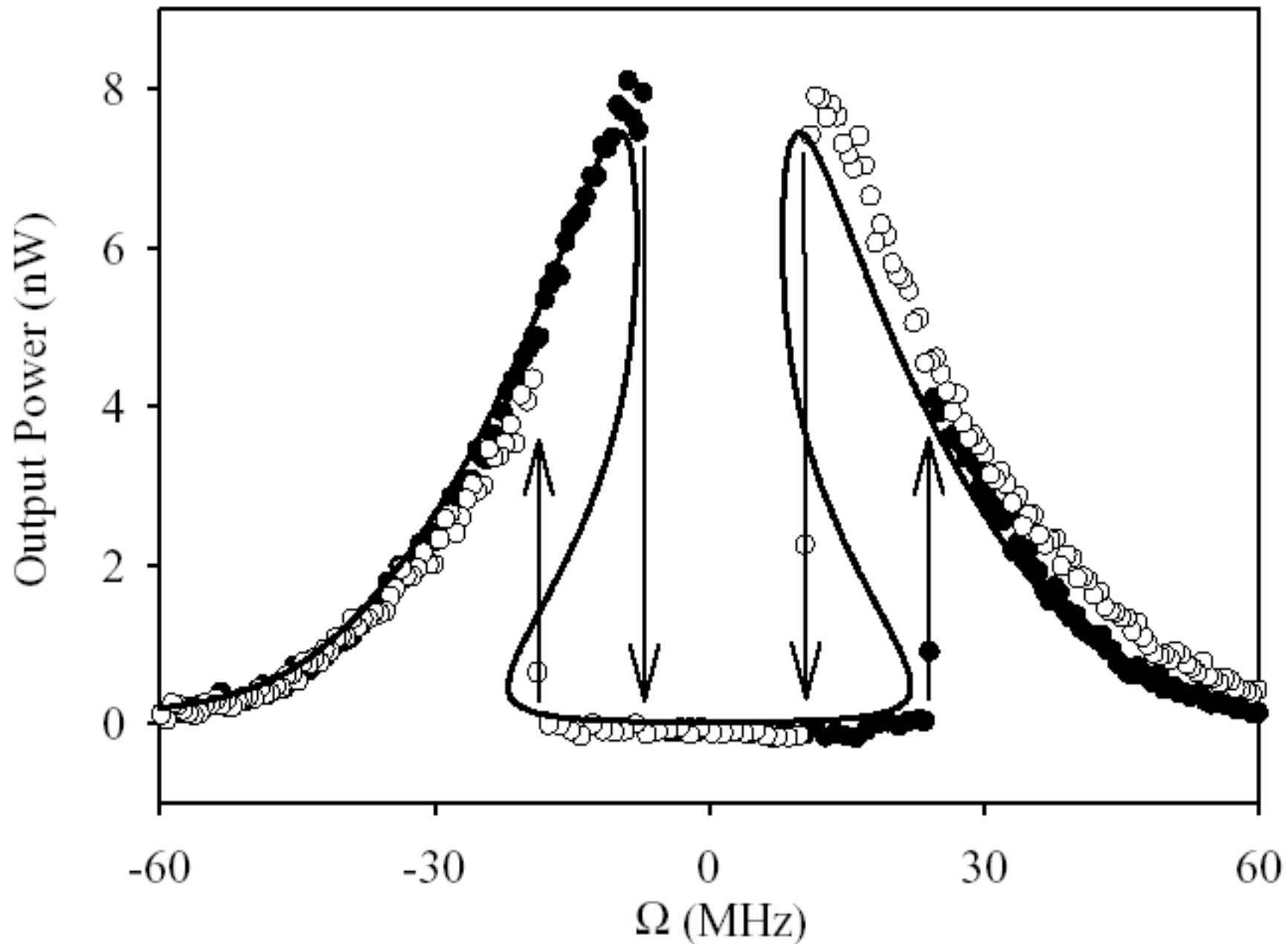


# Espectro de transmisión para diferentes intensidades.



# Teoría

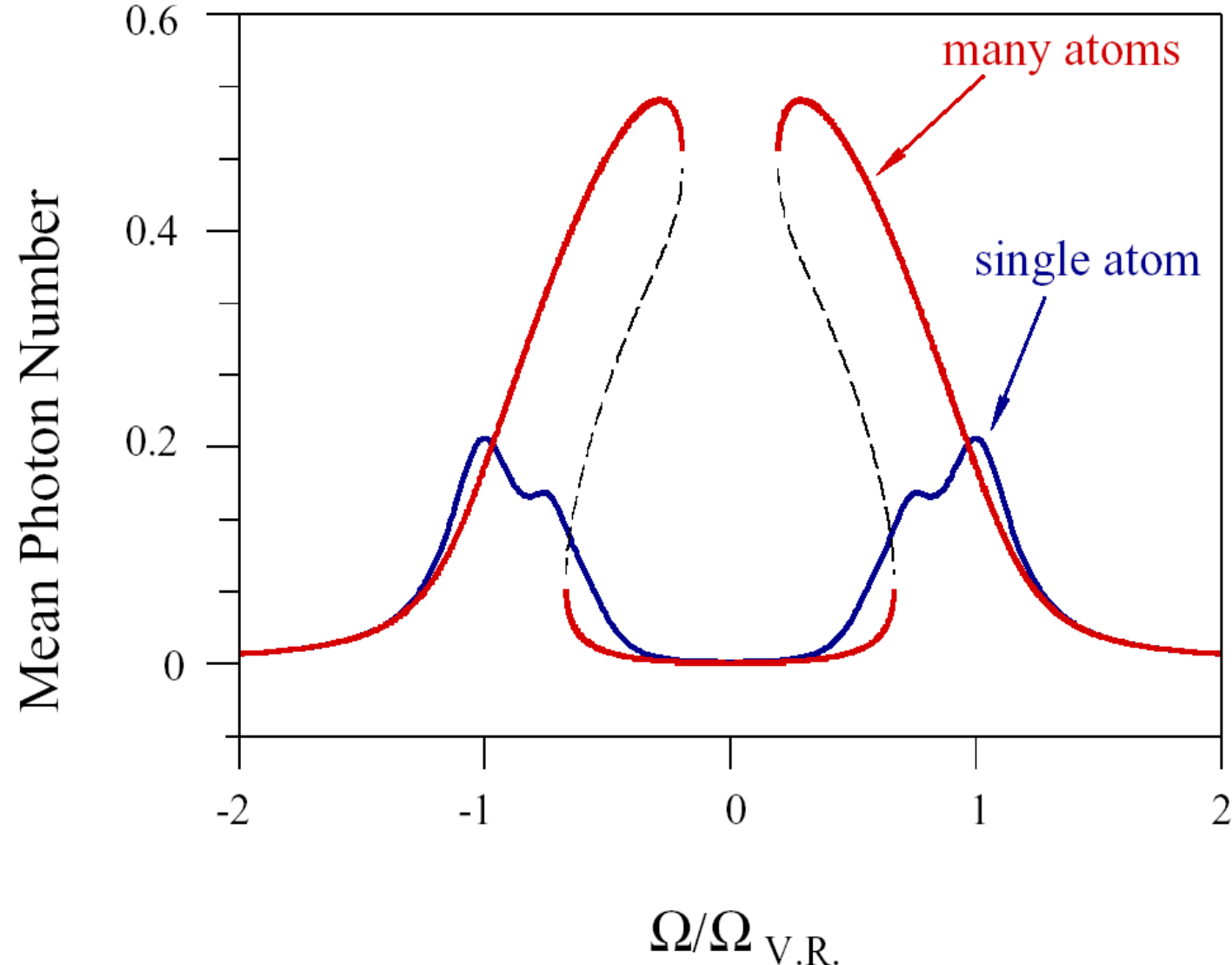




Histéresis (oscilador no lineal) en  
frecuencia en el sistema átomos-cavidad.

# Solución con las ecuaciones de Maxwell Bloch con N átomos.

Un solo átomo con el Hamiltoniano copleto. The El sistema no muestra histéresis.



# Las ecuaciones de Maxwell Bloch

# Cavity QED en el régimen óptico

Electrodinámica cuántica para peatones. No se necesita renormalizar. Hay un solo modo del campo electromagnético.

## ATOMOS + CAVIDAD

Régimen perturbativo: acoplamiento < disipación. El decaimiento puede incrementarse o suprimirse (cavidad menor a  $\lambda$ ), cambios en los niveles de energía.

Régimen no-perturbativo: acoplamiento > disipación. Desdoblamiento de los niveles por el acoplamiento  $g$  (Vacuum Rabi).

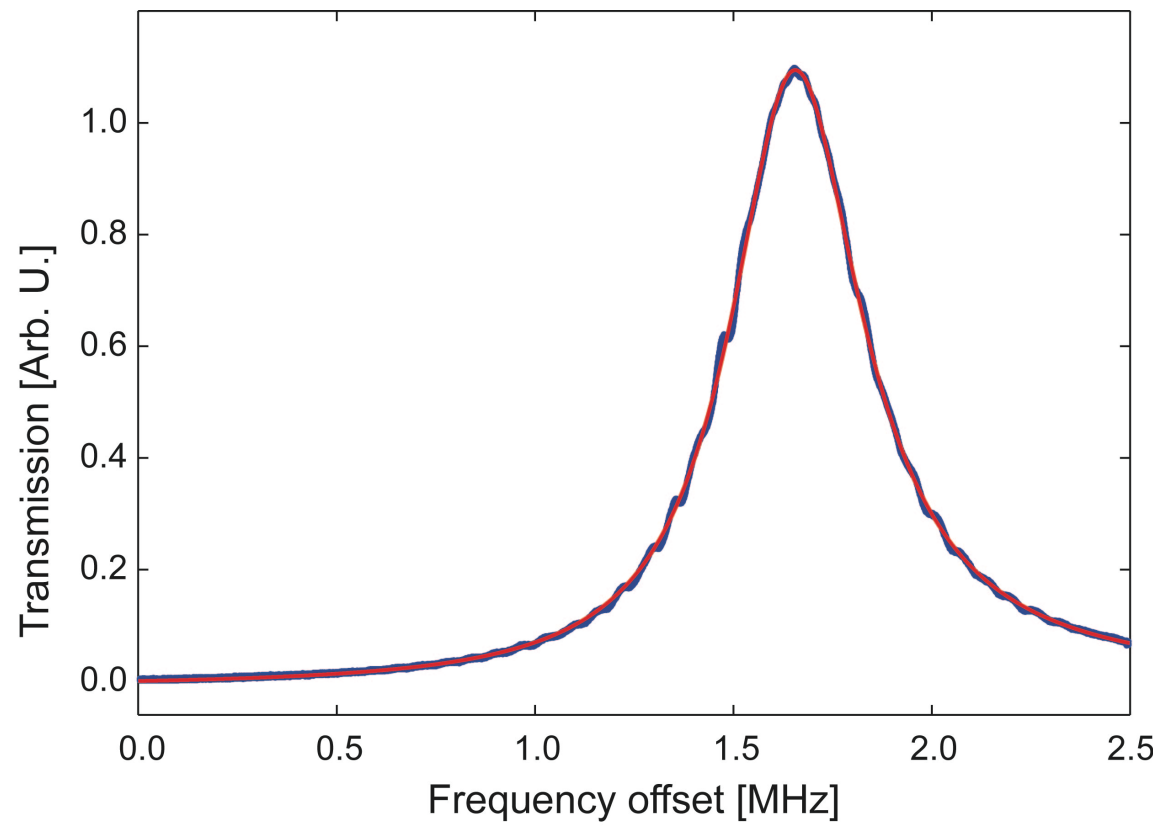
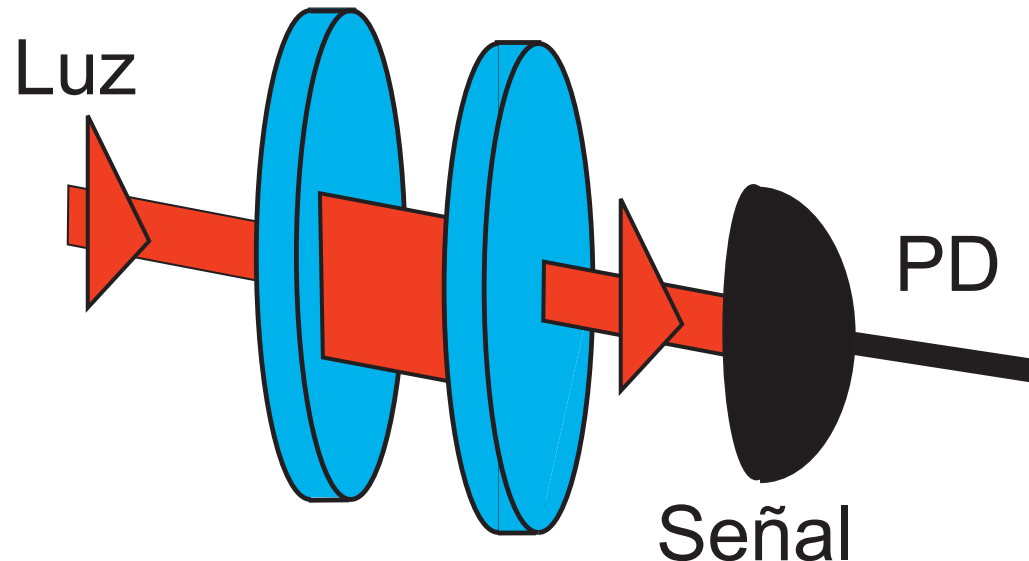
El acoplamiento dipolar entre el átomo y la cavidad:

$$g = \frac{d \cdot E_v}{\hbar}$$

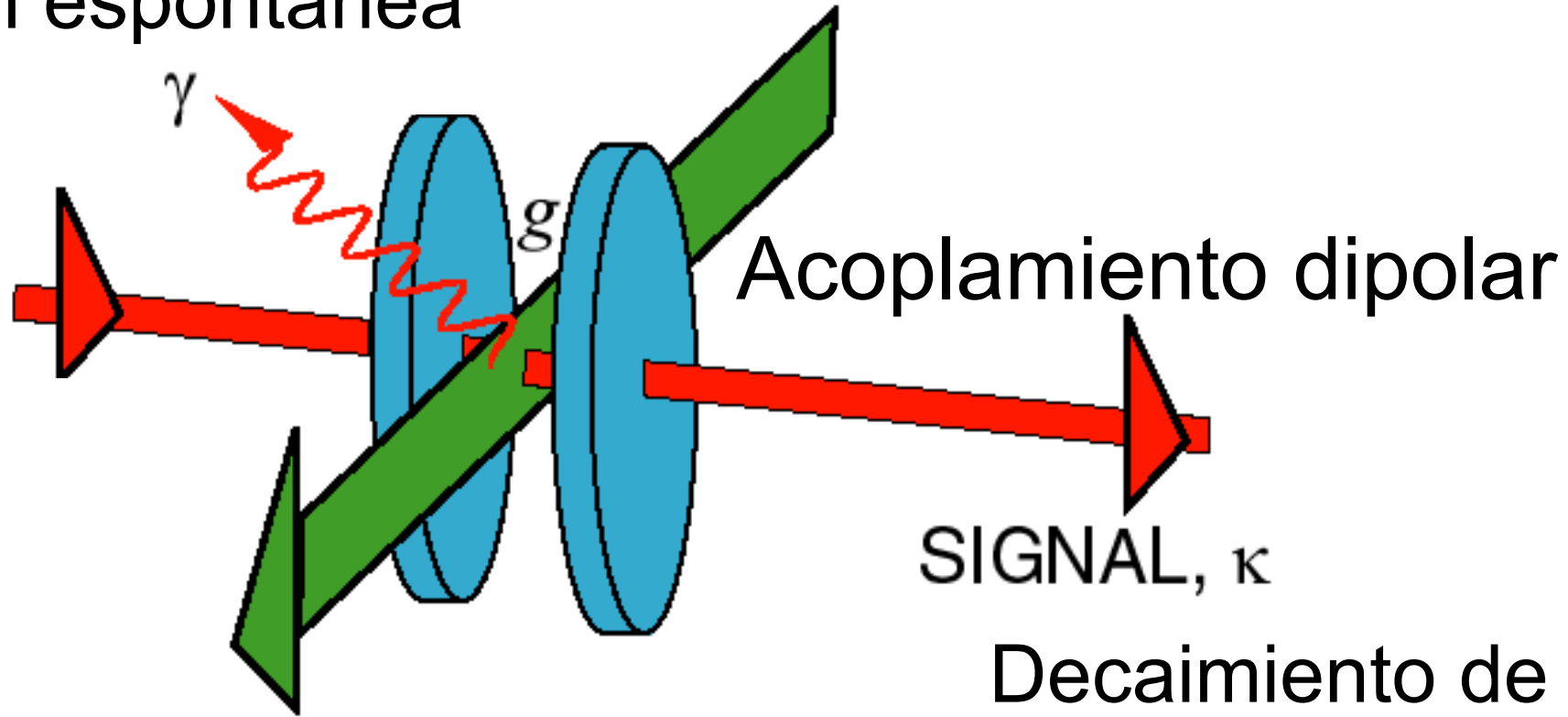
El campo de un fotón en una cavidad con volumen  $V_{\text{eff}}$  es:

$$E_v = \sqrt{\frac{\hbar\omega}{2\epsilon_0 V_{\text{eff}}}}$$

# Cavidad Vacía (Fabry Perot)



Emisión espontánea



Rb ATOMS

Acoplamiento dipolar

SIGNAL,  $\kappa$

Decaimiento de  
la cavidad

$$C_1 = \frac{g^2}{K\gamma} \quad C = C_1 N$$

Coperatividad: razón entre lo que escapa por el modo y todo lo demás.

Coperatividad para un átomo:  $C_1$

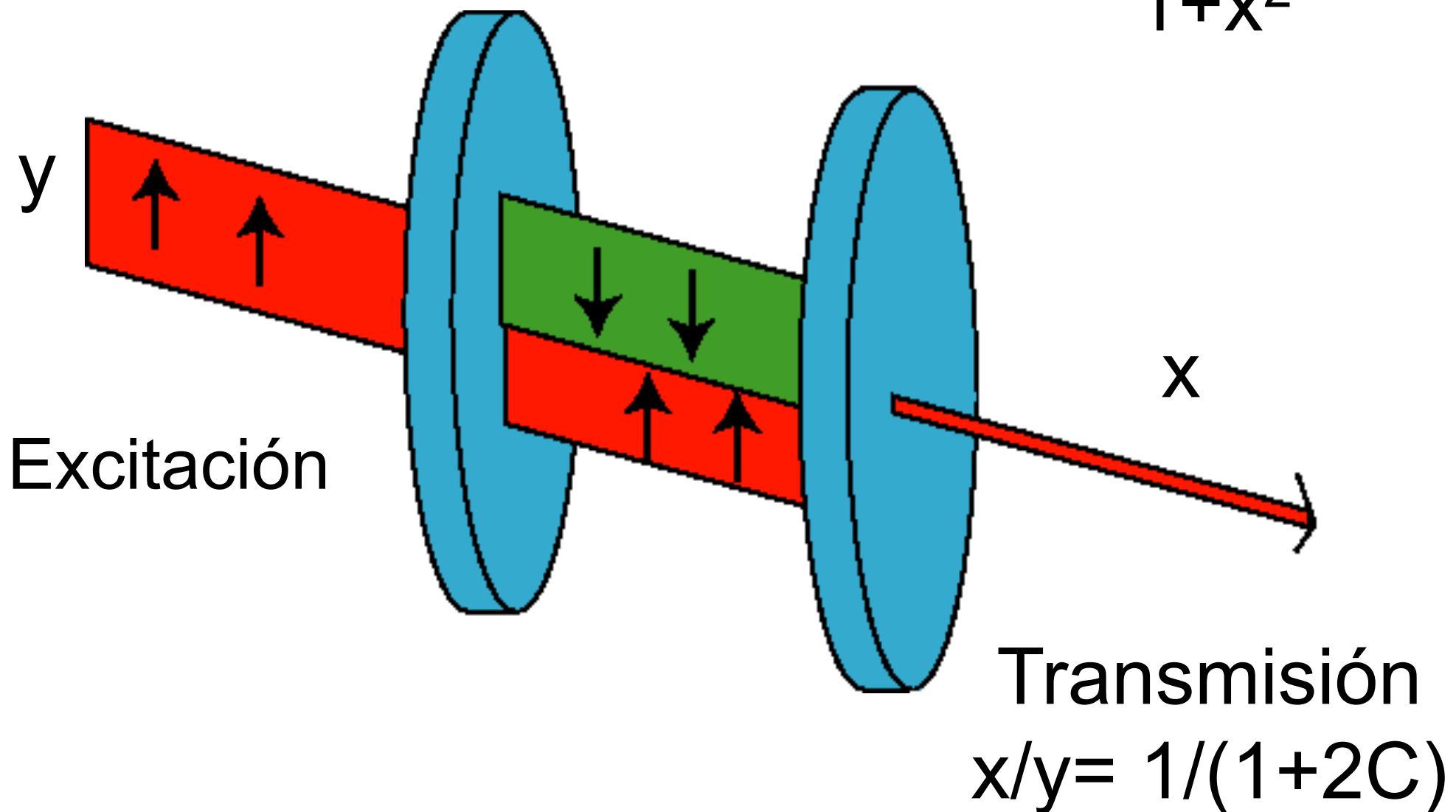
Cooperatividad para  $N$  átomos:  $C$

$$g \approx K \approx \gamma$$

# Estado estable

Polarización atómica :

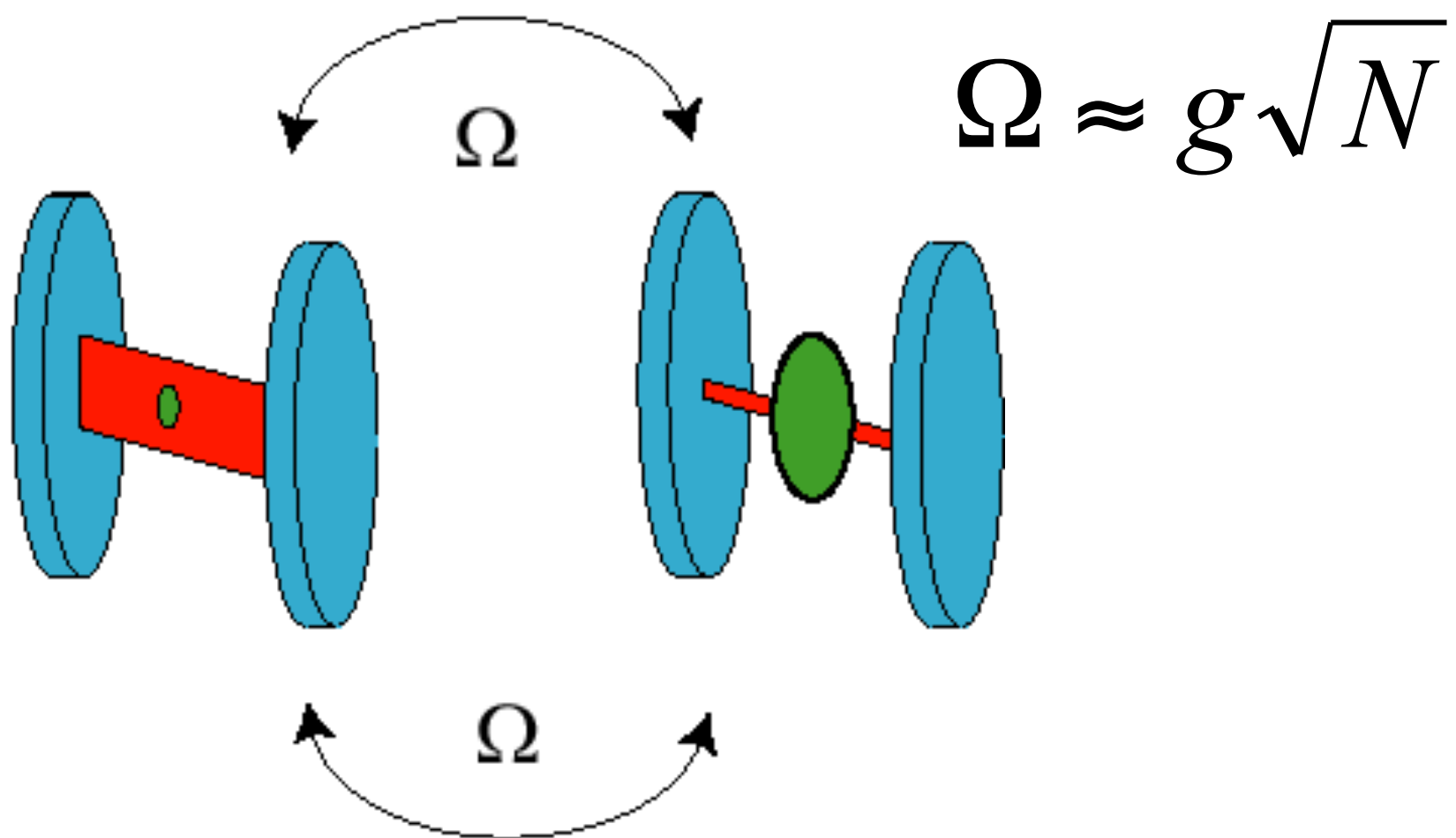
$$\frac{-2Cx}{1+x^2}$$



# Dinámica de Jaynes Cummings

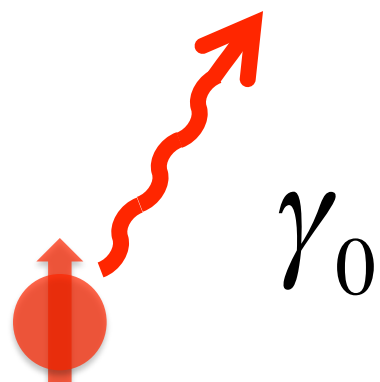
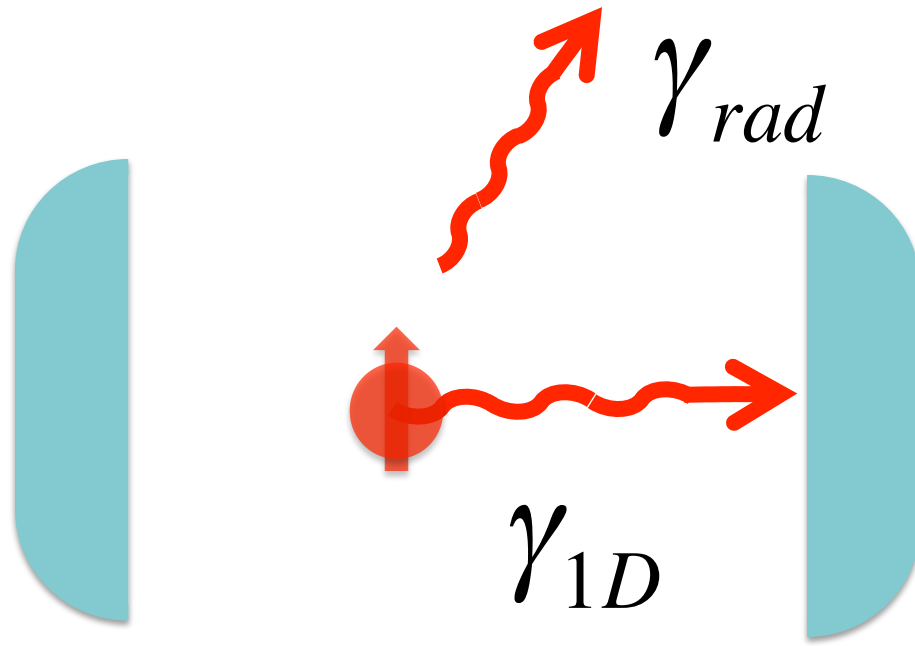
## Oscilaciones de Rabi :

Intercambio de excitación para  $N$  átomos:



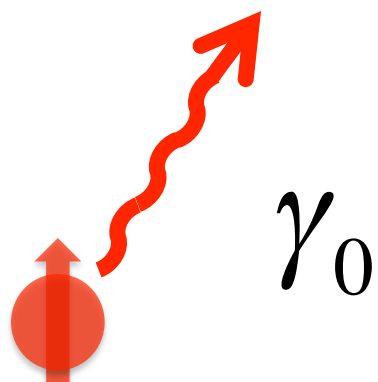
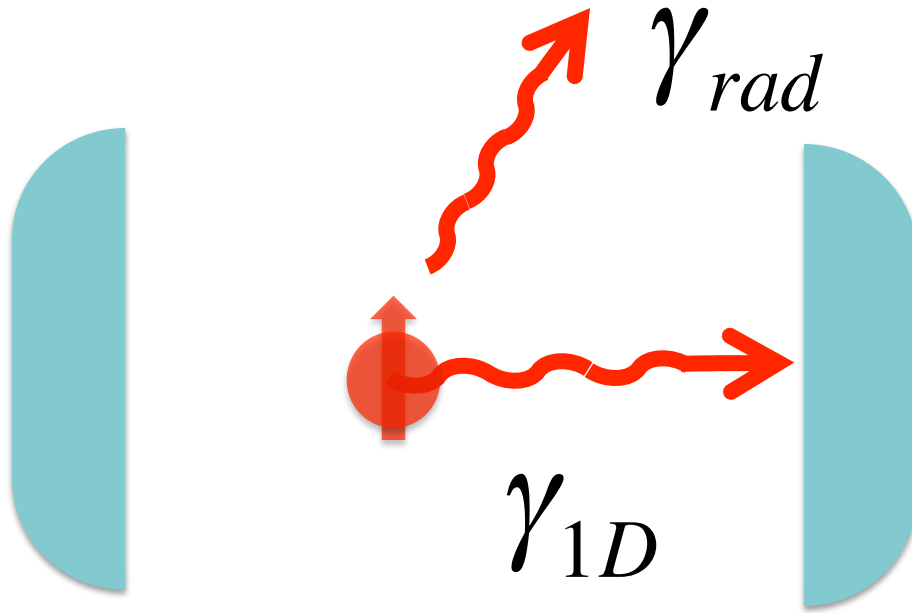
# Algunos parámetros

# Mejora de acoplamiento



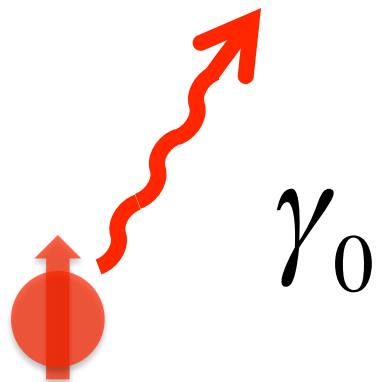
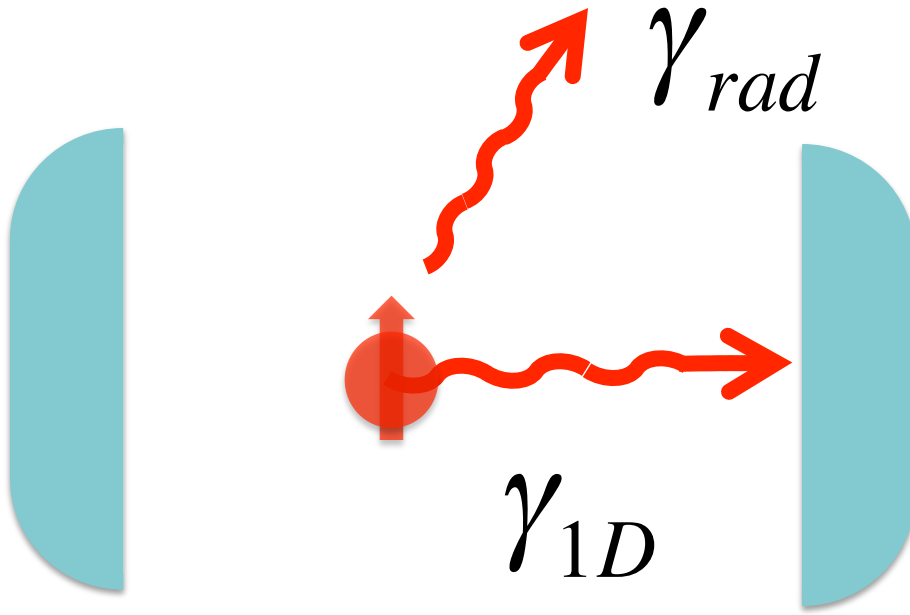
$$\alpha = \frac{\gamma_{1D}}{\gamma_0}$$

# Eficiencia de acoplamiento



$$\beta = \frac{\gamma_{1D}}{\gamma_{Tot}} \quad ; \quad \gamma_{Tot} = \gamma_{1D} + \gamma_{rad}$$

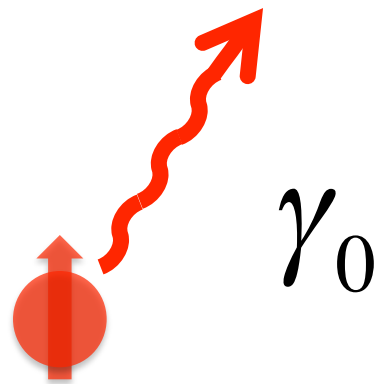
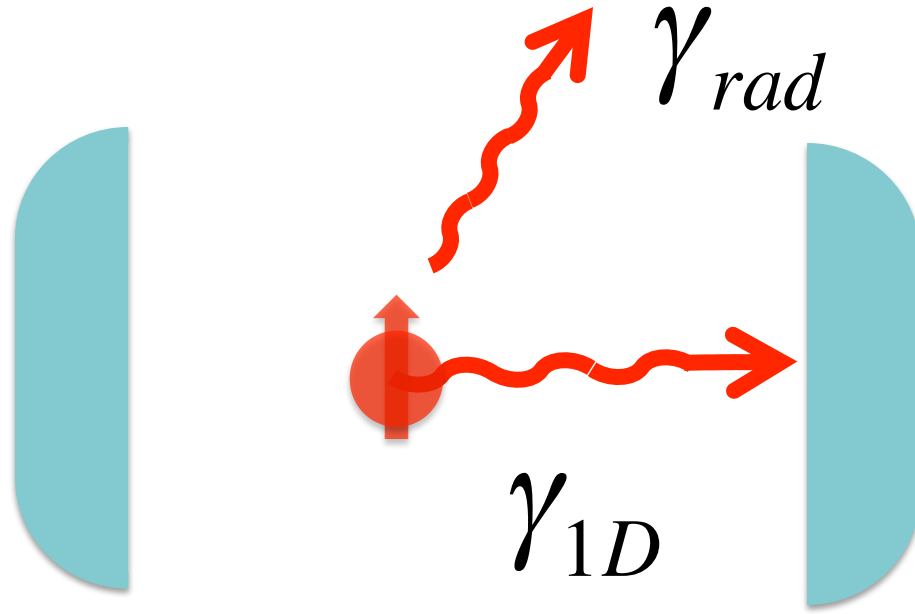
# Factor de Purcell



$$F_P = \frac{\gamma_{tot}}{\gamma_0} = \frac{\alpha}{\beta}$$

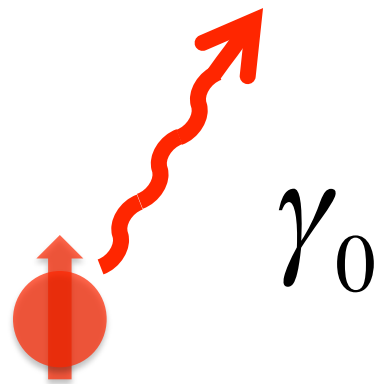
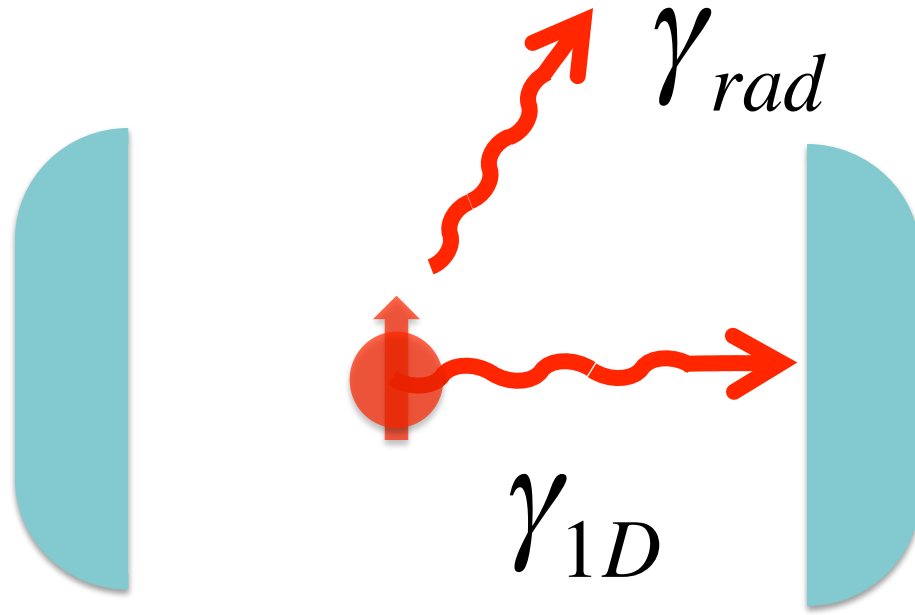
$$\gamma_{Tot} = \gamma_{1D} + \gamma_{rad}$$

# Cooperatividad



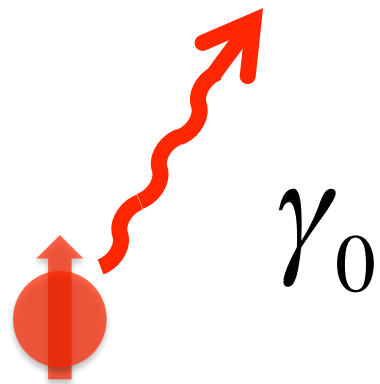
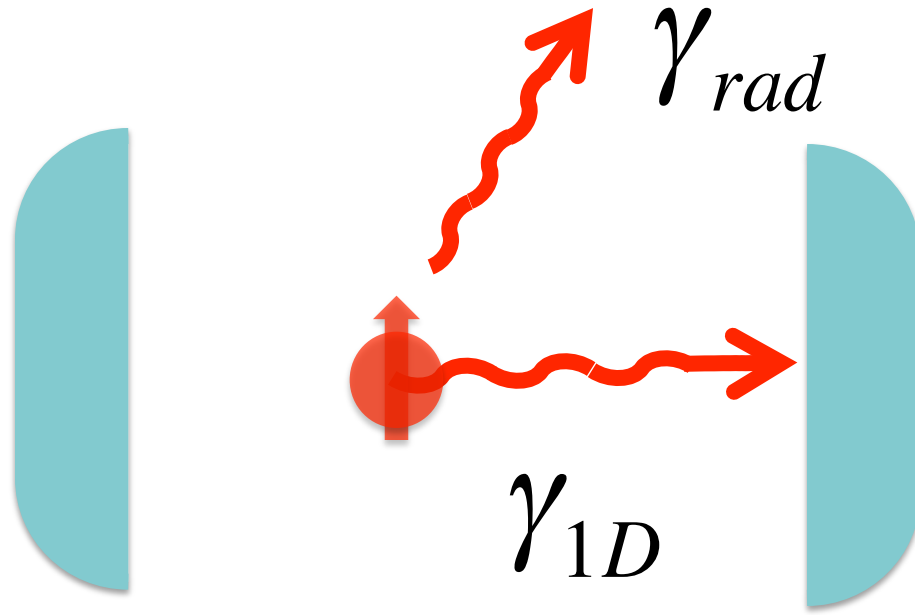
$$C_1 = \frac{\beta}{(1 - \beta)} = \frac{\gamma_{1D}}{\gamma_{rad}}$$

# Cooperatividad



$$C_1 = \frac{g^2}{K\gamma_0}$$

# Cooperatividad



$$C_1 = \frac{\sigma_0}{Area_{\text{mode}}} \frac{1}{T}$$

La mejora de acoplamiento  $\alpha$  es proporcional al número total de fotones emitidos en el modo de cavidad.

La eficiencia de acoplamiento  $\beta$  es el porcentaje de fotones emitidos en el modo en relación con el número total de fotones emitidos.

La cooperatividad es la razón entre los fotones acoplados al modo y los emitidos a otros modos. Es la inversa del número de átomos que son necesarios para observar efectos no lineales en la cavidad.

## Algunas implementaciones

- Rydbergs en cavidades superconductoras (Micro-ondas)
- Átomos alcalinos en cavidades (Óptico)
- Quantum dots, defectos en diamantes en microcavidades (Optical)
- Ions atrapados con sus modos vibracionales (fonones)
- Circuit QED Qubits superconductores en cavidades superconductoras (Micro-ondas)
- Polaritones en microcavidades (fotones)

La cooperatividad se ha convertido en la figura de mérito para muchos experimentos en óptica e información cuántica, no esta limitada a cavity QED.

Como elegir una plataforma?

$$C = \frac{\sigma_0}{Area_{\text{mode}}} \frac{1}{T} N$$

$$C = \frac{g^2}{\kappa \gamma_0} N$$

Tomen el área del modo como  $\pi(\lambda/2)^2$ , y  $\sigma$  como  $3\lambda^2/2\pi$  . C no depende del “átomo o dipolo”

Otra aproximación es maximizar  $g$  con un campo  $E_0$  grande minimizando el volumen del modo de la cavidad  $V$

Las soluciones están guidadas por sus recursos y dónde quieren alcanzar el ideal.

Las micro-ondas pueden ser confinadas en cavidades con areas del modo comparables a la sección eficas de los átomos de Rydberg.  
(Experimentos dirigidos por S. Haroche)

Es más dificil en el visible, pero desarrollos recientes ENS haciendo espejos micrométricos pueden ayudar.

# Hamiltoniano cuántico para $N$ átomos

$$\hat{H} = \hat{H}_1 + \hat{H}_1 + \hat{H}_2 + \hat{H}_3 + \hat{H}_4 + \hat{H}_5 ,$$

$$\hat{H}_1 = \hbar\omega_c \hat{a}^\dagger \hat{a} + \frac{1}{2} \hbar\omega_a \sum_{j=1}^N \hat{\sigma}_j^z ,$$

átomos libres  
campo libre

J. C.  $\hat{H}_2 = i\hbar \sum_{j=1}^N g_j \left( \hat{a}^\dagger \hat{\sigma}_j^- e^{-i\vec{k} \cdot \vec{r}_j} - \hat{a} \hat{\sigma}_j^+ e^{i\vec{k} \cdot \vec{r}_j} \right)$  Interacción

$$\hat{H}_3 = \sum_{j=1}^N \left( \hat{\Gamma}_A \hat{\sigma}_j^+ + \hat{\Gamma}_A^\dagger \hat{\sigma}_j^- \right) ,$$

Decaimiento  
Atómico

$$\hat{H}_4 = \hat{\Gamma}_F \hat{a}^\dagger + \hat{\Gamma}_F^\dagger \hat{a} ,$$

Decaimiento  
Cavidad

$$\hat{H}_5 = i\hbar \left( \hat{a}^\dagger \mathcal{E} e^{-i\omega_l t} - \hat{a} \mathcal{E}^* e^{i\omega_l t} \right) .$$

Excitación del  
modo

Number of Excitations,  $n$

$$\text{---} \pm \sqrt{n+1} g_0$$

$$\text{---} \pm \sqrt{n} g_0$$

$$\text{---} \pm \sqrt{2} g_0$$

$$\text{---} \pm g_0$$

$$\text{---} \pm \sqrt{2} g_0$$

$$\text{---} |0\rangle$$

1

$$\text{---} |0\rangle$$

2

$$\text{---} \pm 2\sqrt{N} g_0$$

$$\text{---} \pm \sqrt{N} g_0$$

$$\text{---} |0\rangle$$

N

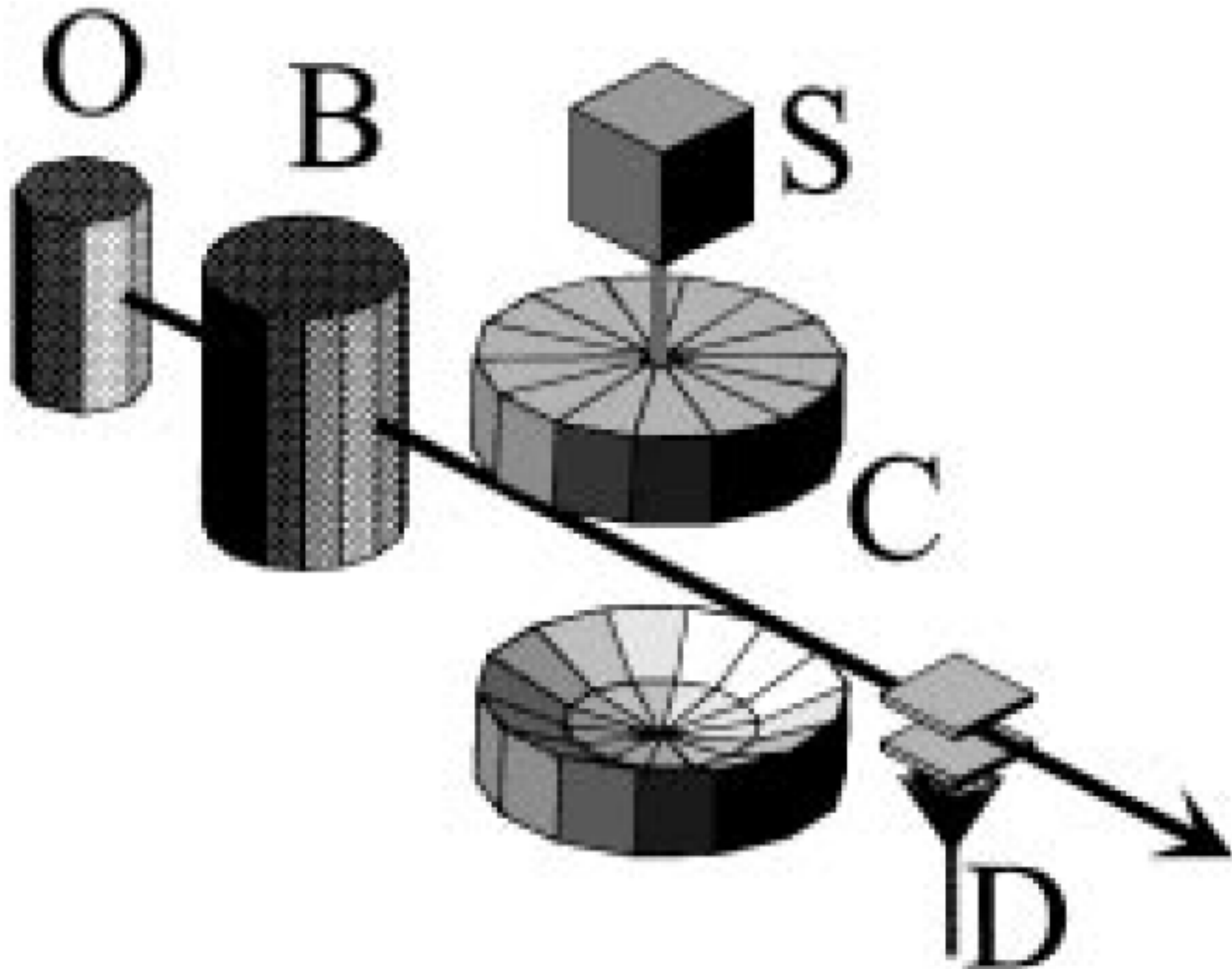
Number of Atoms, N

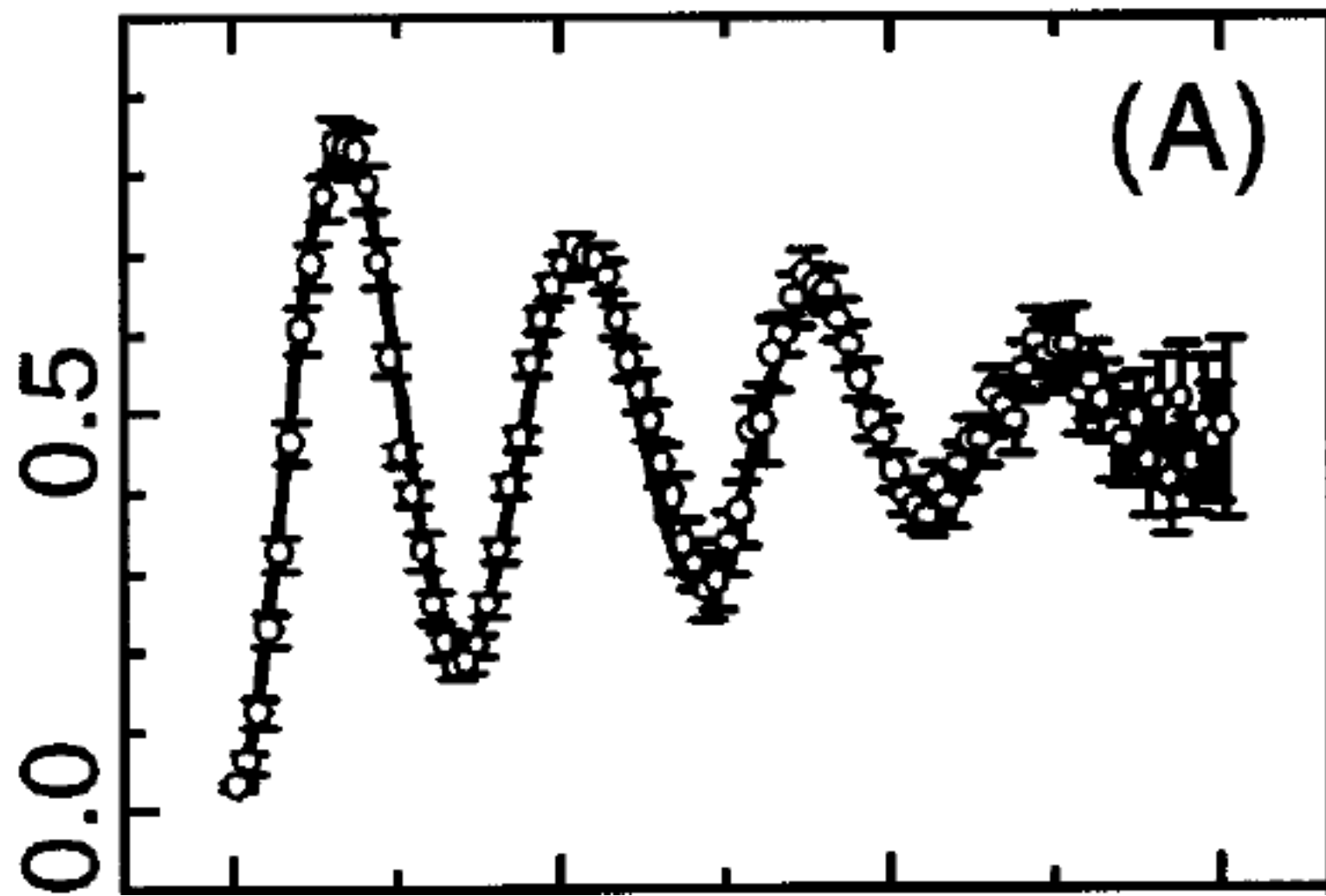
## Quantum Rabi Oscillation: A Direct Test of Field Quantization in a Cavity

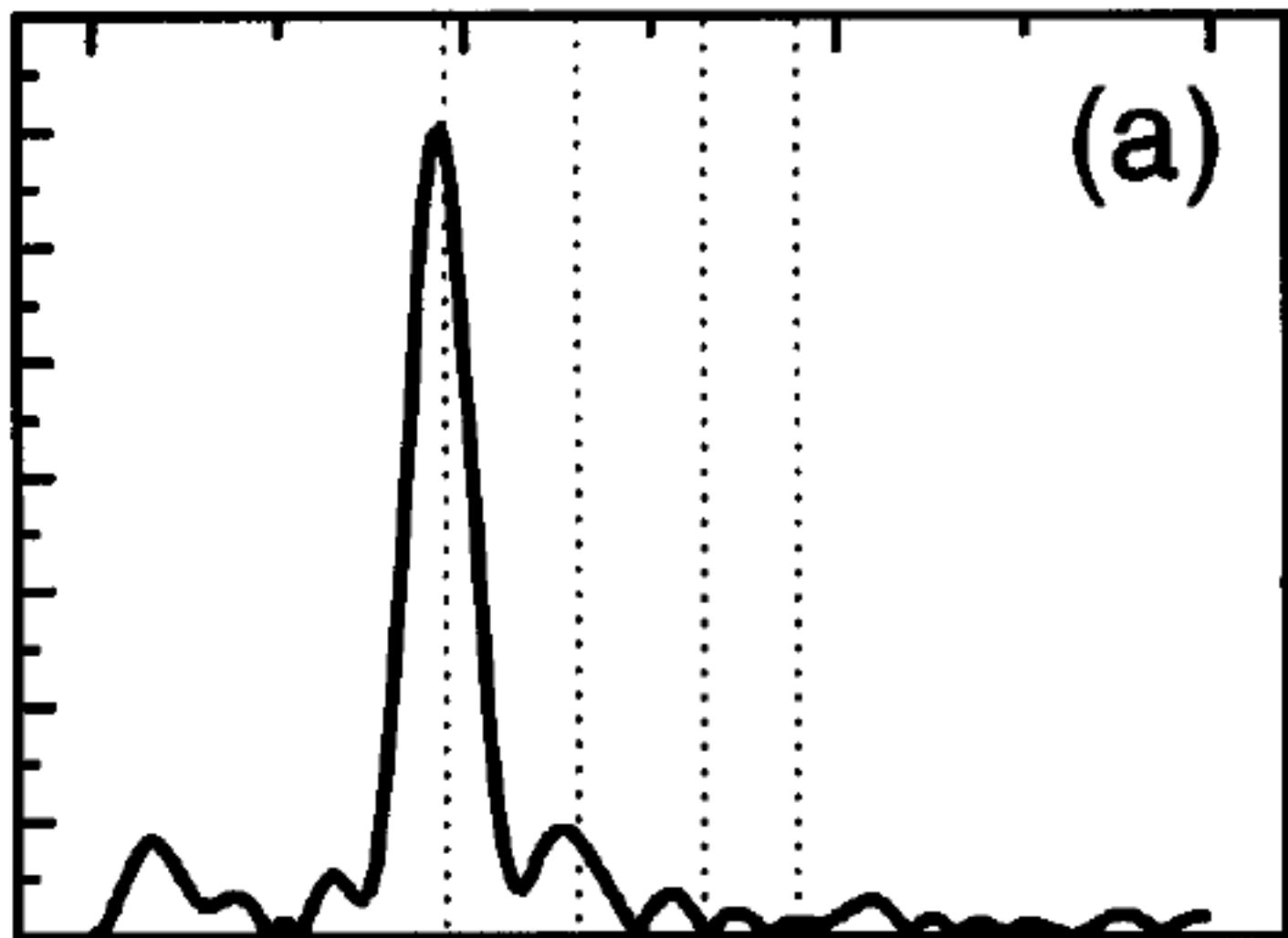
M. Brune, F. Schmidt-Kaler, A. Maali, J. Dreyer, E. Hagley, J. M. Raimond, and S. Haroche

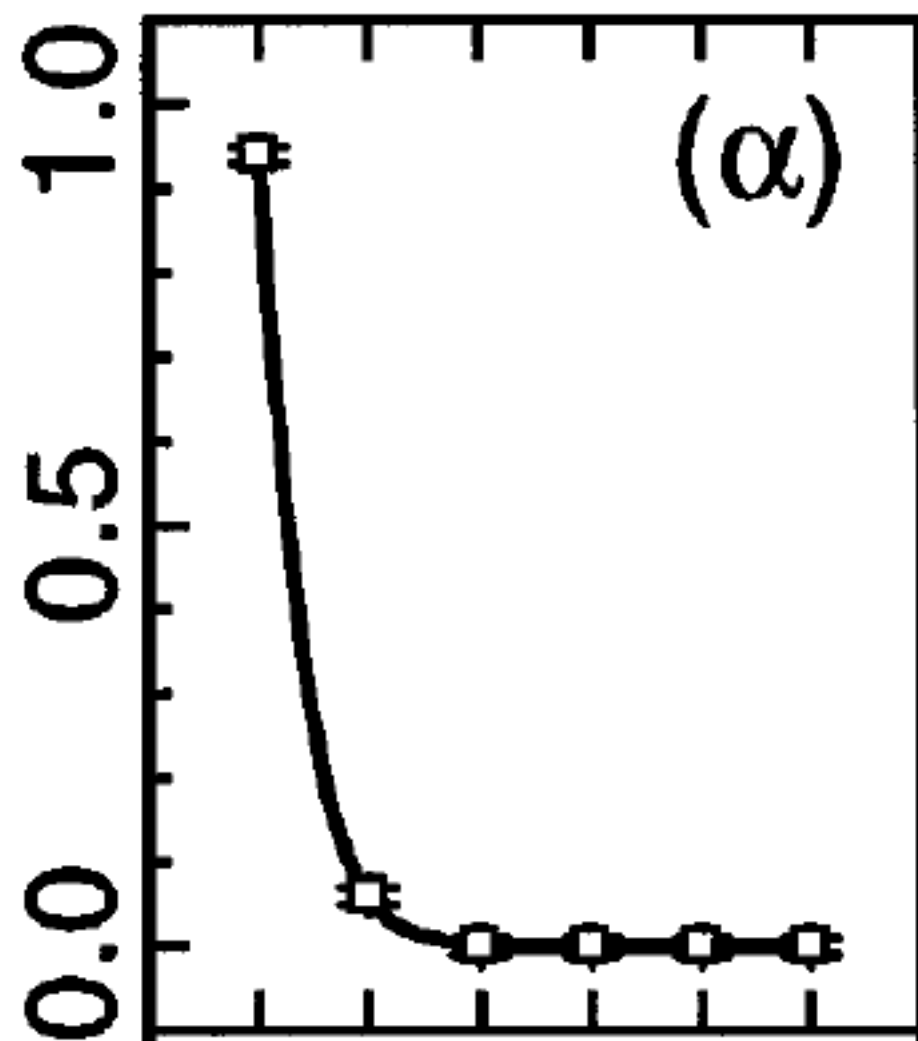
*Laboratoire Kastler Brossel,\* Département de Physique de l'Ecole Normale Supérieure, 24 rue Lhomond,  
F-75231 Paris Cedex 05, France*  
(Received 9 November 1995)

We have observed the Rabi oscillation of circular Rydberg atoms in the vacuum and in small coherent fields stored in a high  $Q$  cavity. The signal exhibits discrete Fourier components at frequencies proportional to the square root of successive integers. This provides direct evidence of field quantization in the cavity. The weights of the Fourier components yield the photon number distribution in the field. This investigation of the excited levels of the atom-cavity system reveals nonlinear quantum features at extremely low field strengths.





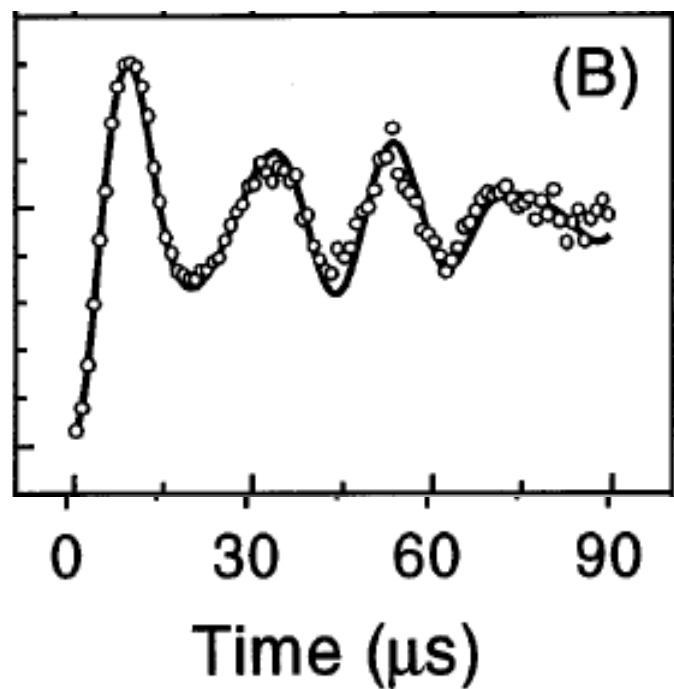




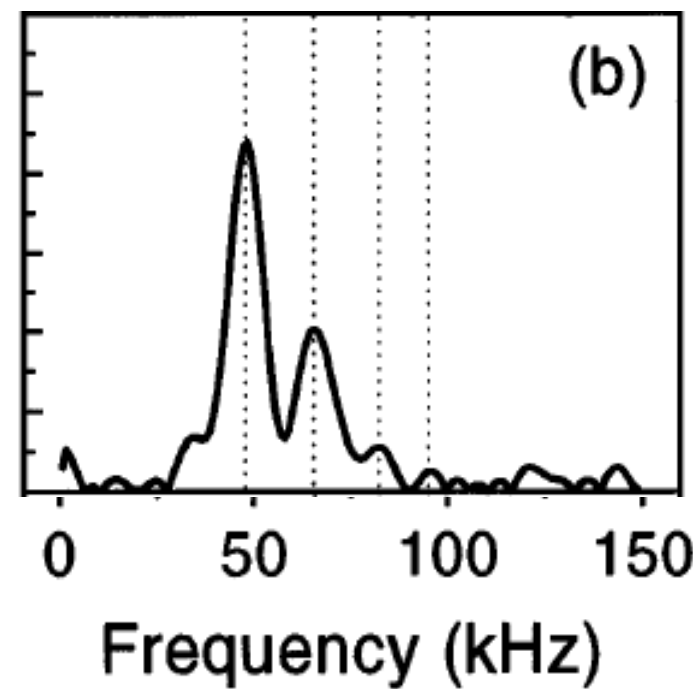
( $\alpha$ )

# Para dos fotones

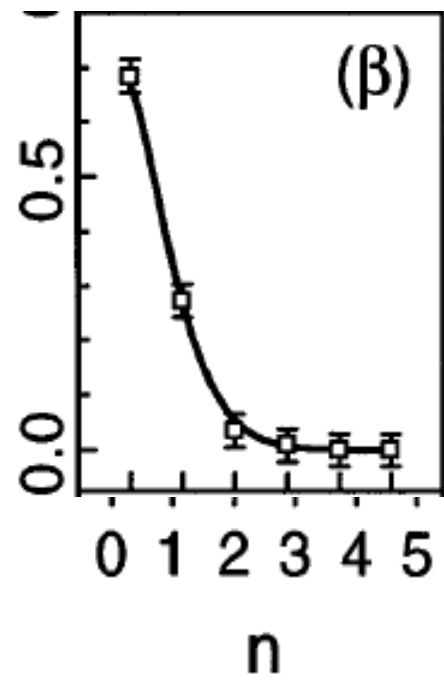
Oscillations



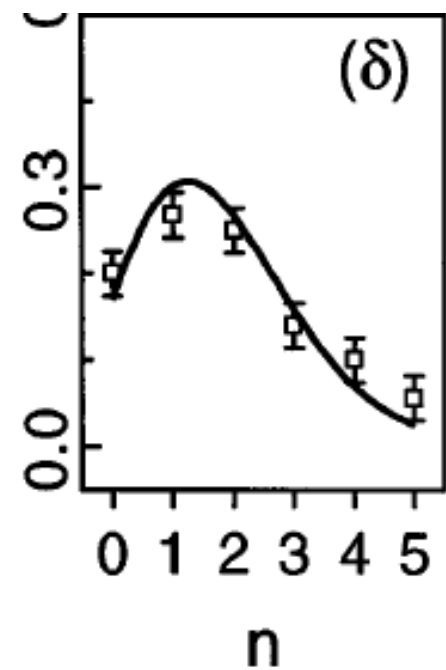
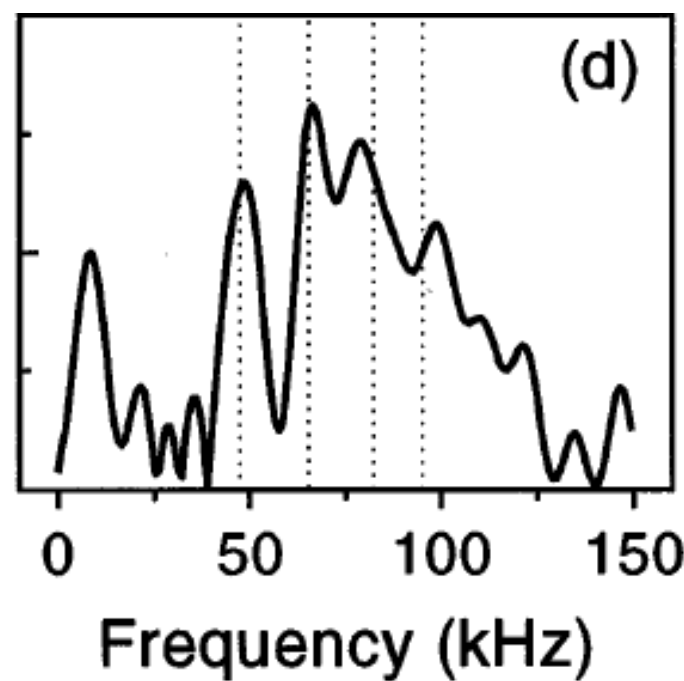
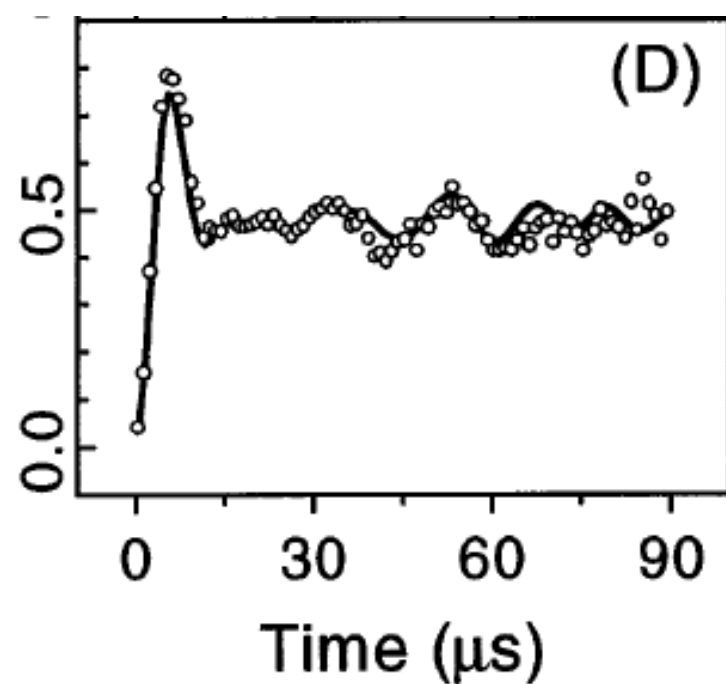
Fourier Transform



$P(n)$



# Para cuatro fotones



## LETTERS

---

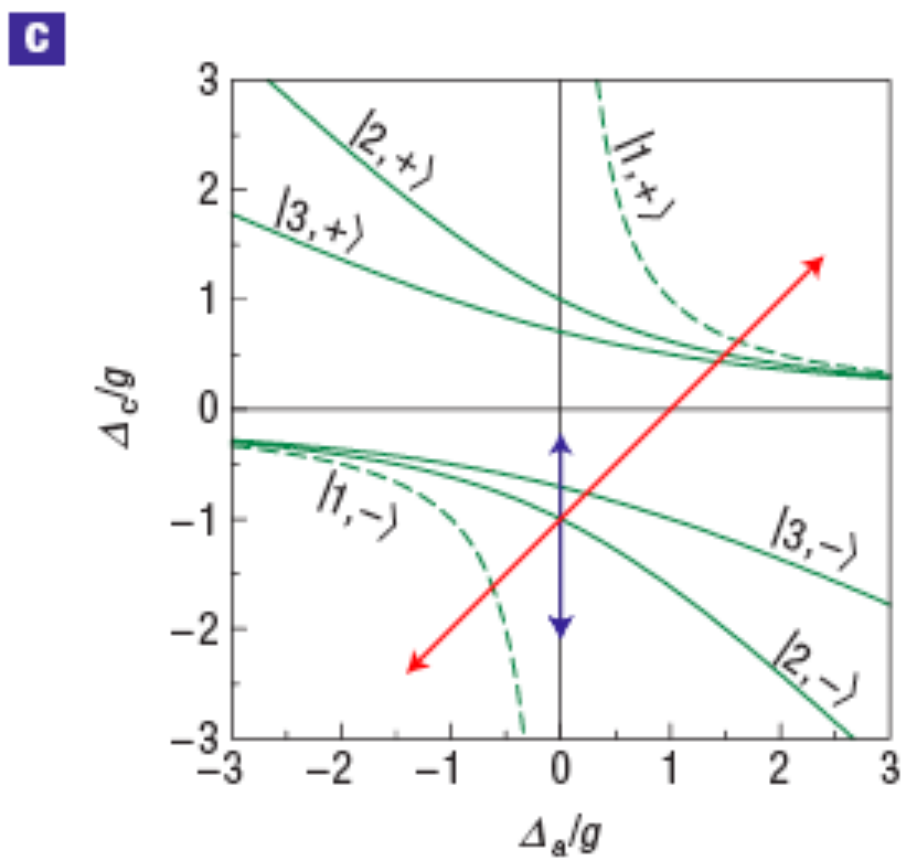
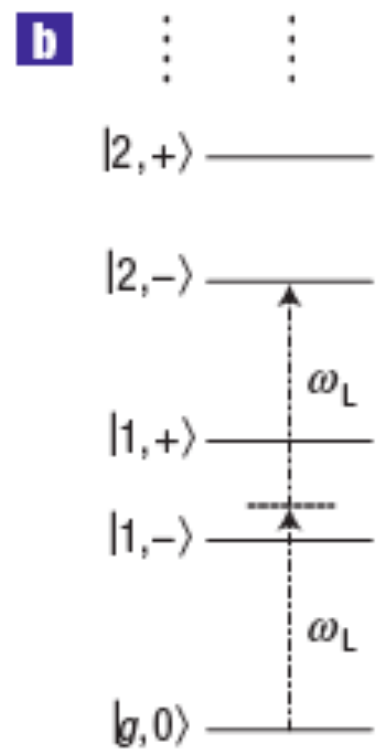
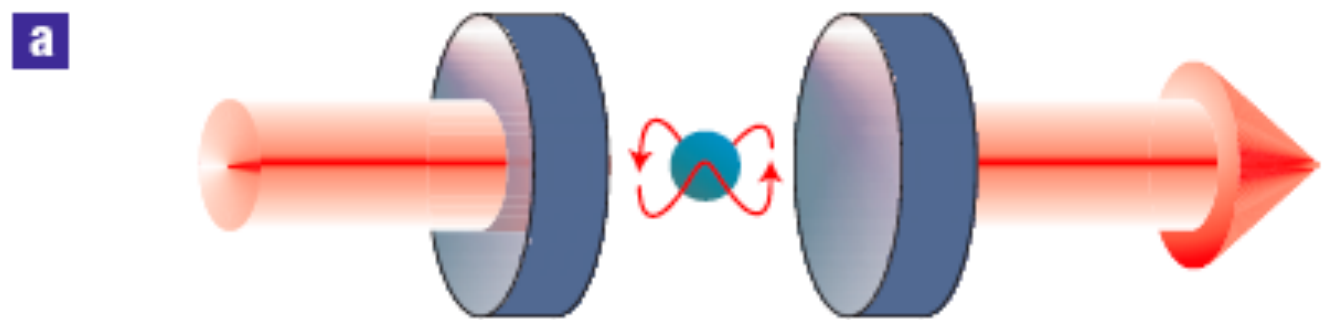
# Nonlinear spectroscopy of photons bound to one atom

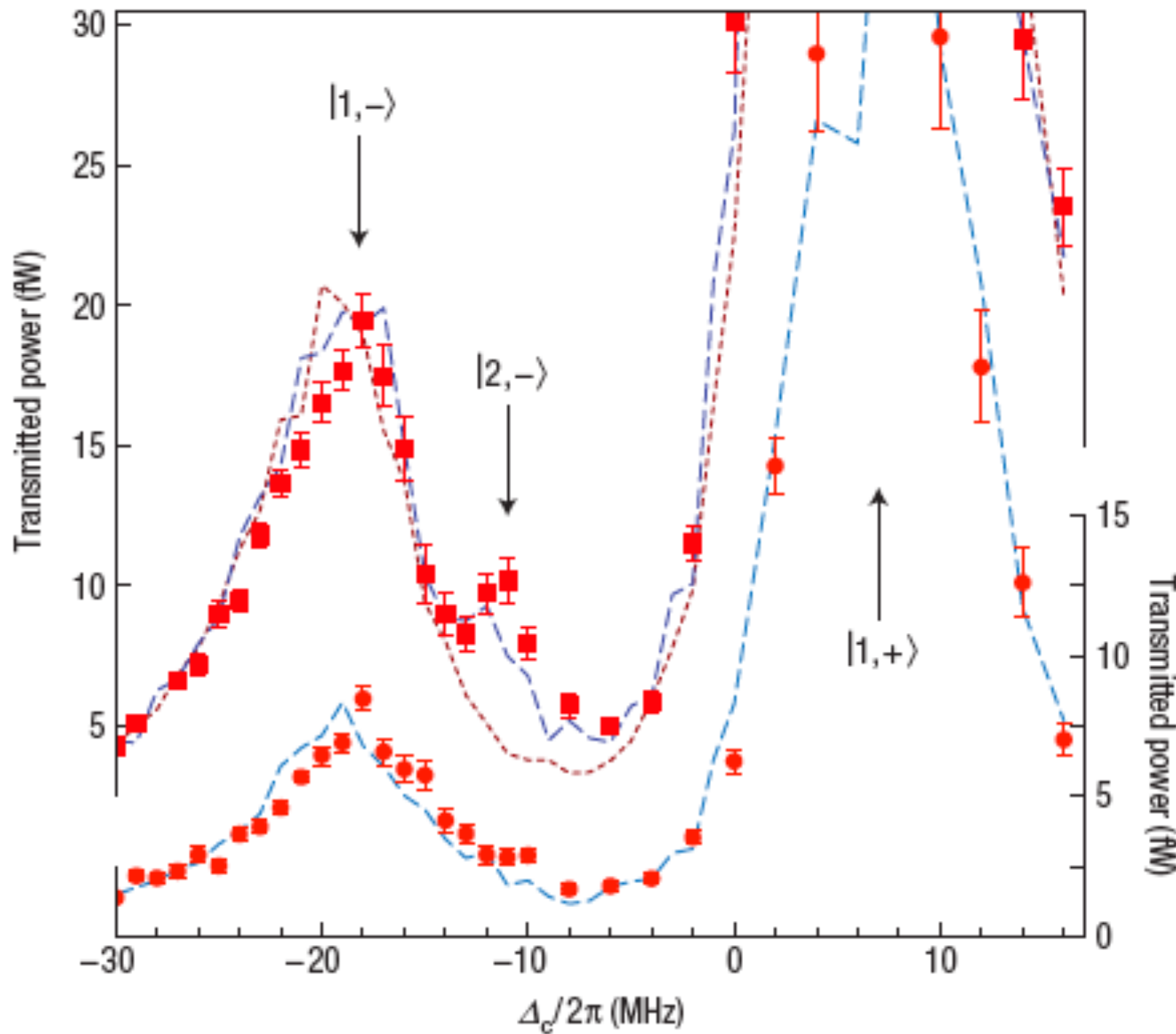
I. SCHUSTER, A. KUBANEK, A. FUHRMANEK, T. PUPPE, P. W. H. PINKSE, K. MURR AND G. REMPE\*

Max-Planck-Institut für Quantenoptik, Hans-Kopfermann-Straße 1, D-85748 Garching, Germany

\*e-mail: gerhard.rempe@mpq.mpg.de

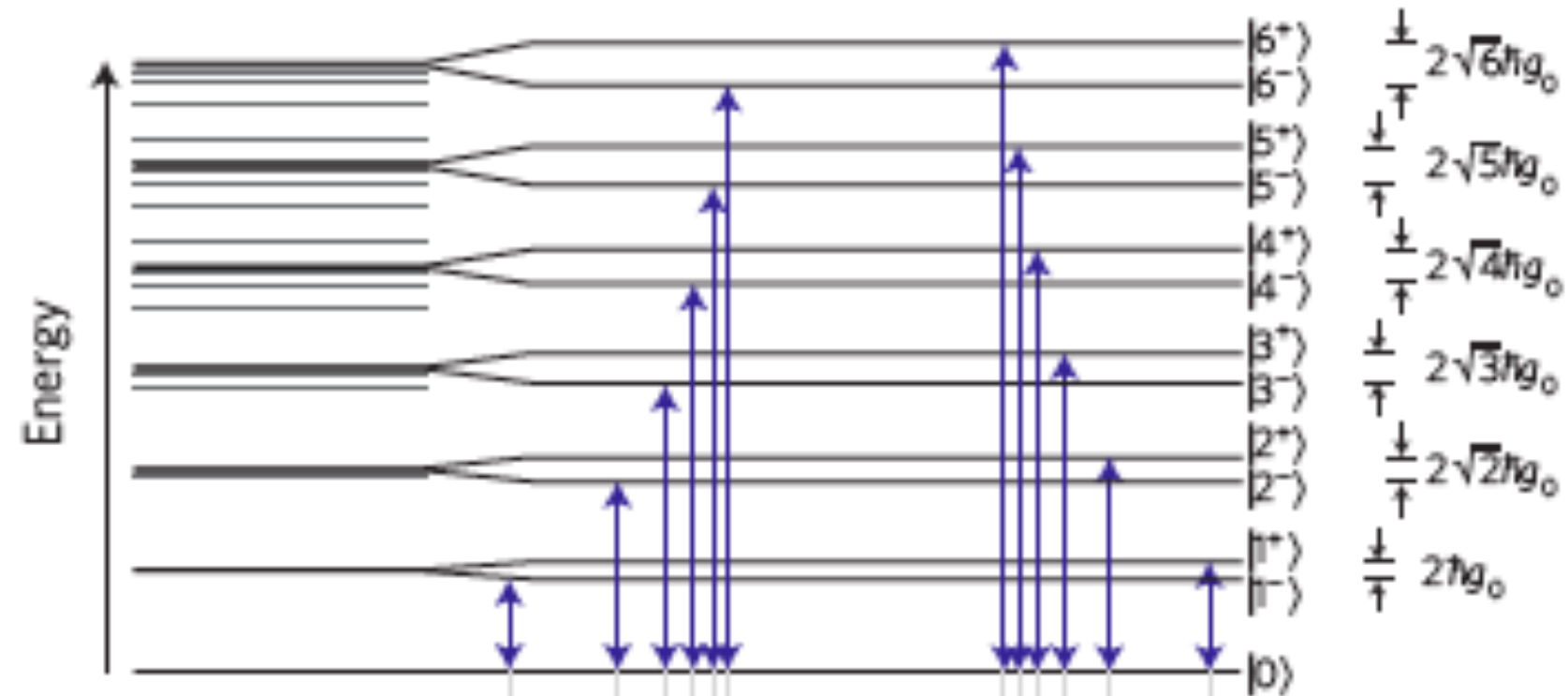
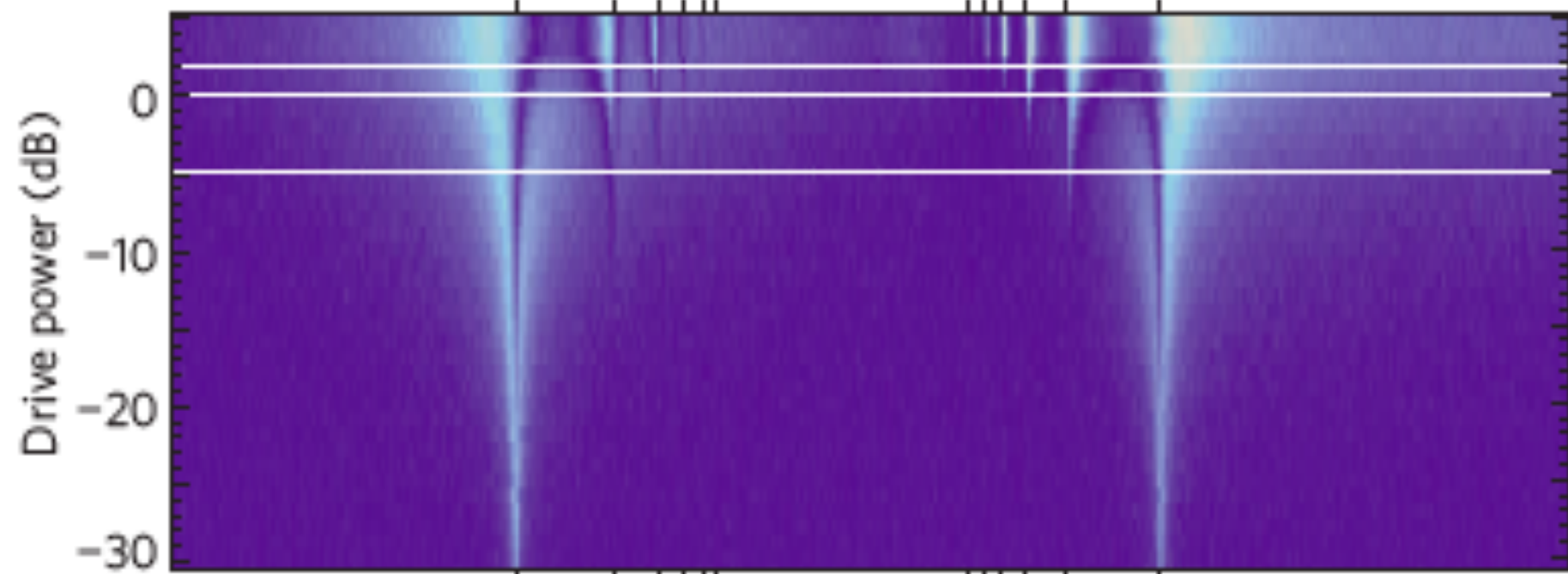
Published online: 13 April 2008; doi:10.1038/nphys940





# Nonlinear response of the vacuum Rabi resonance

Lev S. Bishop<sup>1</sup>, J. M. Chow<sup>1</sup>, Jens Koch<sup>1</sup>, A. A. Houck<sup>1</sup>, M. H. Devoret<sup>1</sup>, E. Thuneberg<sup>2</sup>, S. M. Girvin<sup>1</sup>  
and R. J. Schoelkopf<sup>1</sup>\*

**a****b**

**Photon Antibunching and Squeezing for a Single Atom in a Resonant Cavity**

H. J. Carmichael

*Department of Physics, University of Arkansas, Fayetteville, Arkansas 72701*

(Received 12 August 1985)

The transmitted light from an optical cavity containing a single two-level atom may show photon antibunching and squeezing. The two effects are closely related and simply understood in terms of the theory of single-atom resonance fluorescence. It follows that corresponding nonclassical effects in optical bistability do not originate in atomic collectivity.

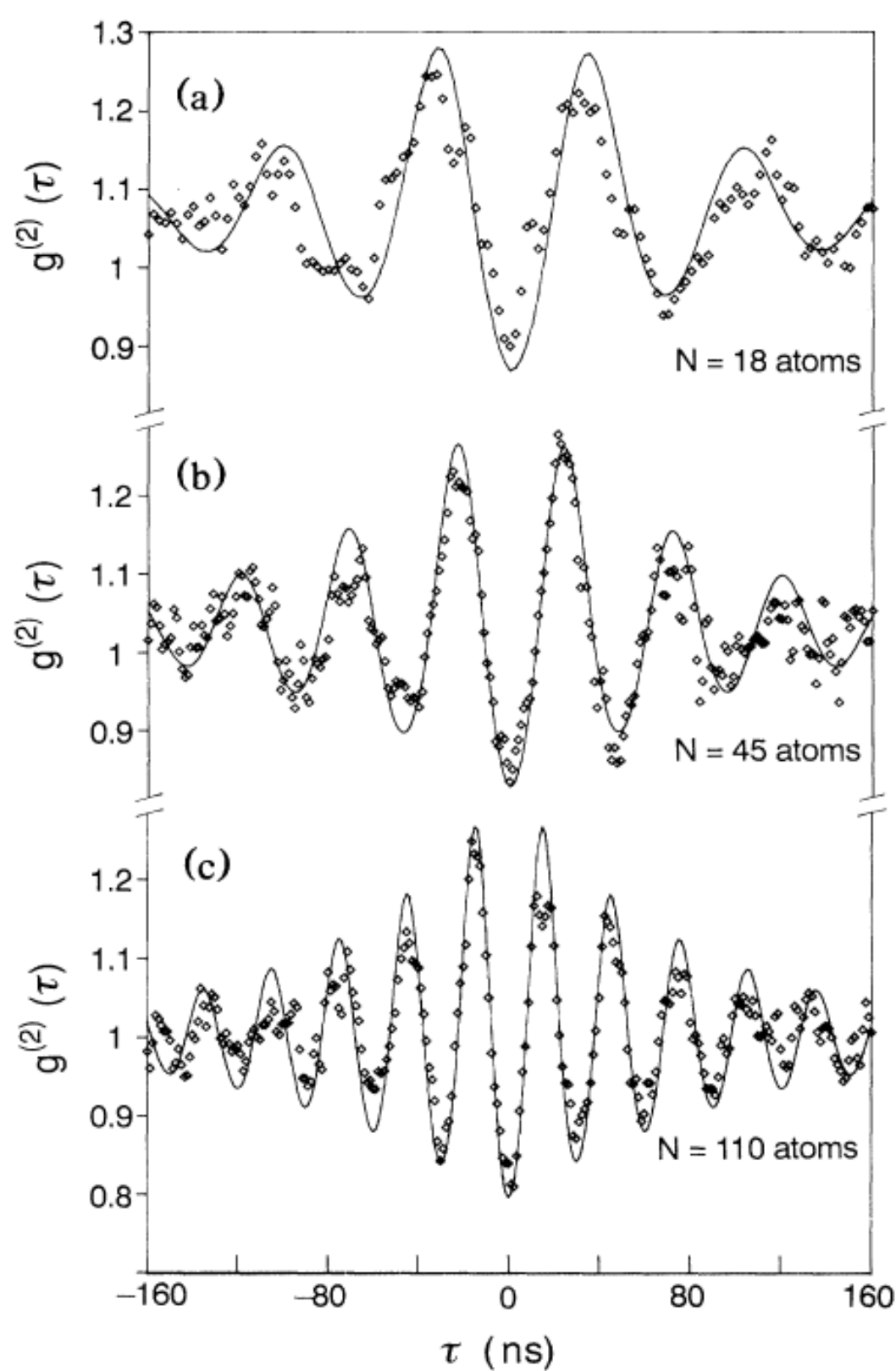
## Optical Bistability and Photon Statistics in Cavity Quantum Electrodynamics

G. Rempe, R. J. Thompson, R. J. Brecha,<sup>(a)</sup> W. D. Lee,<sup>(b)</sup> and H. J. Kimble

*Norman Bridge Laboratory of Physics 12-33, California Institute of Technology, Pasadena, California 91125*

(Received 28 June 1991)

The quantum statistical behavior of a small collection of  $N$  two-state atoms strongly coupled to the field of a high-finesse optical cavity is investigated. Input-output characteristics are recorded over the range  $3 \lesssim N \lesssim 65$ , with bistability observed for  $N \gtrsim 15$  intracavity atoms and for a saturation photon number  $n_0 = 0.8$ . For weak excitation the transmitted field exhibits photon antibunching as a nonclassical manifestation of state reduction and quantum interference with the magnitude of the nonclassical effects largely independent of  $N$ .



# LETTER

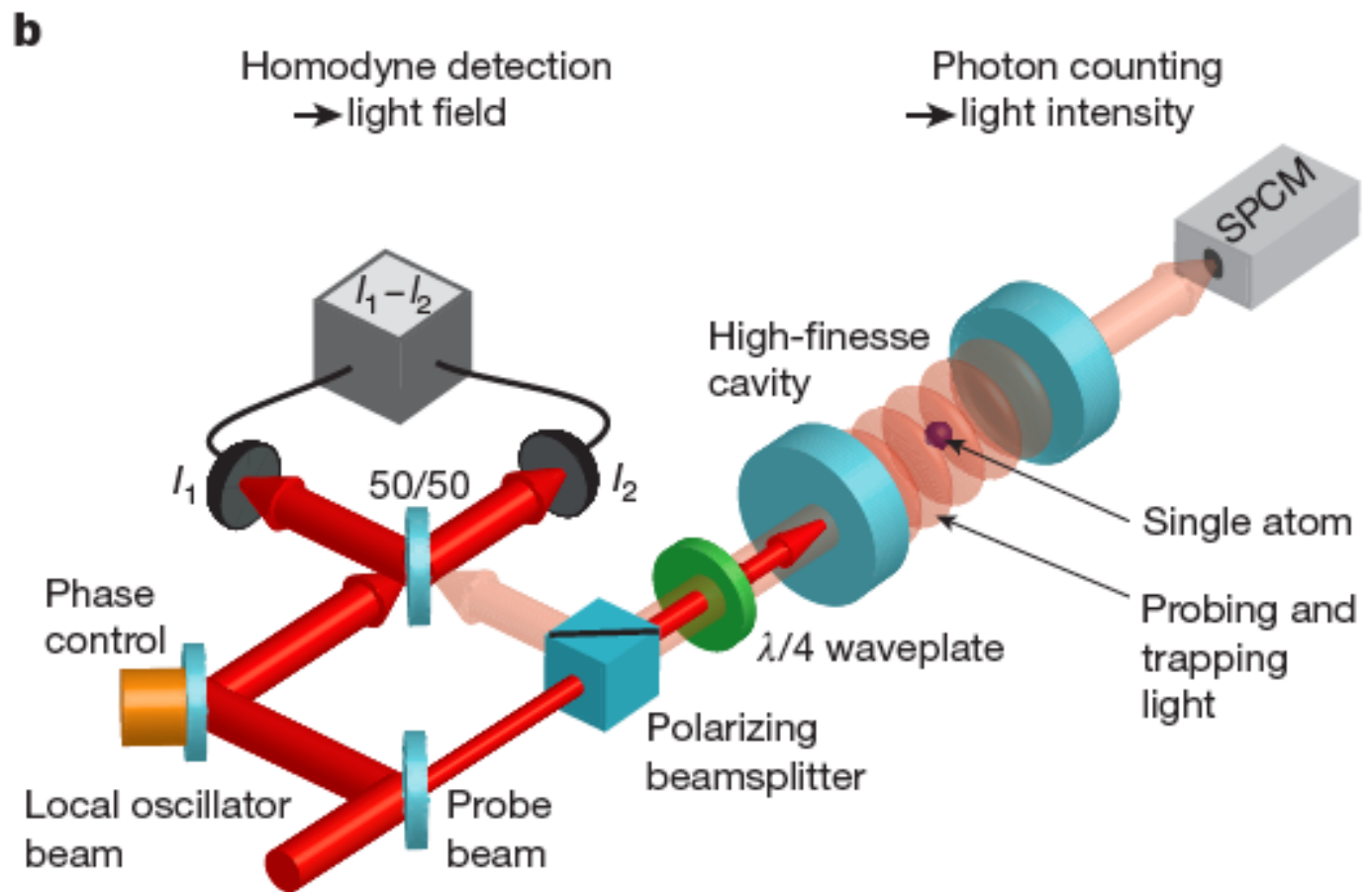
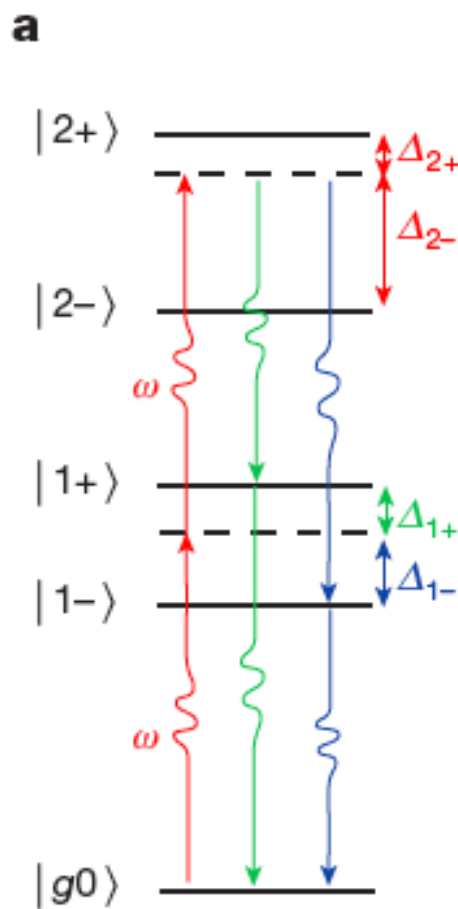
---

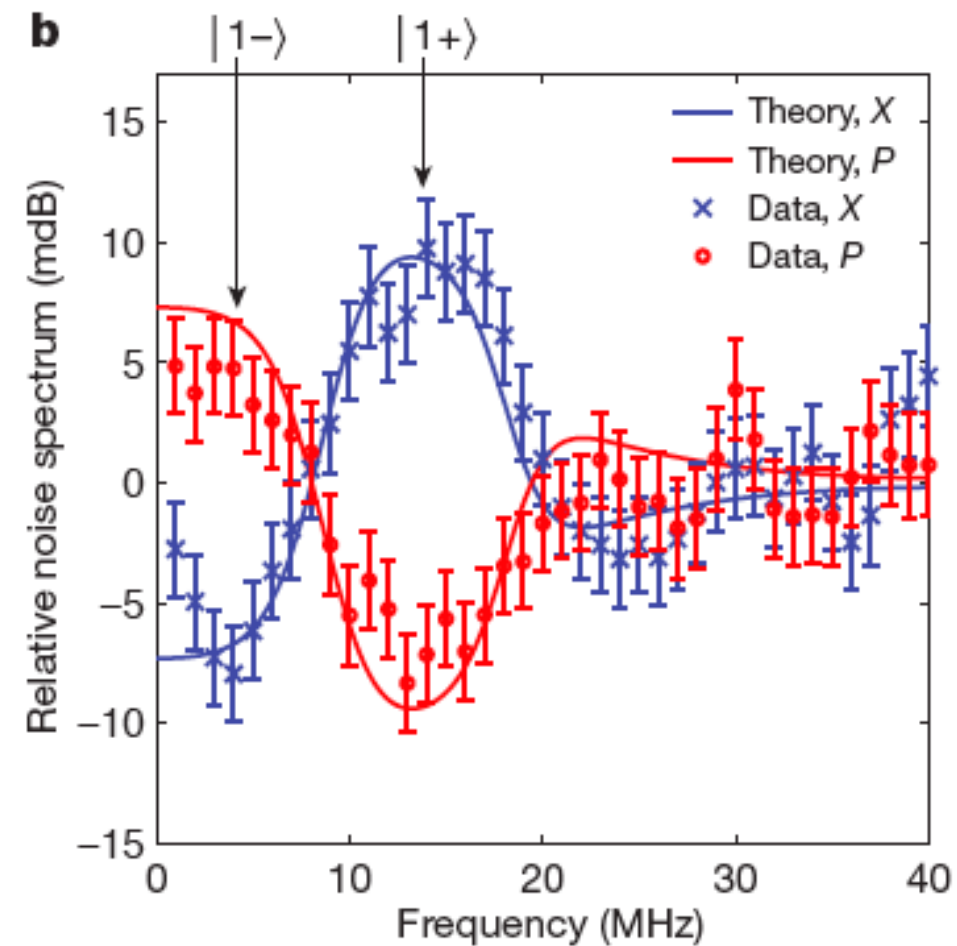
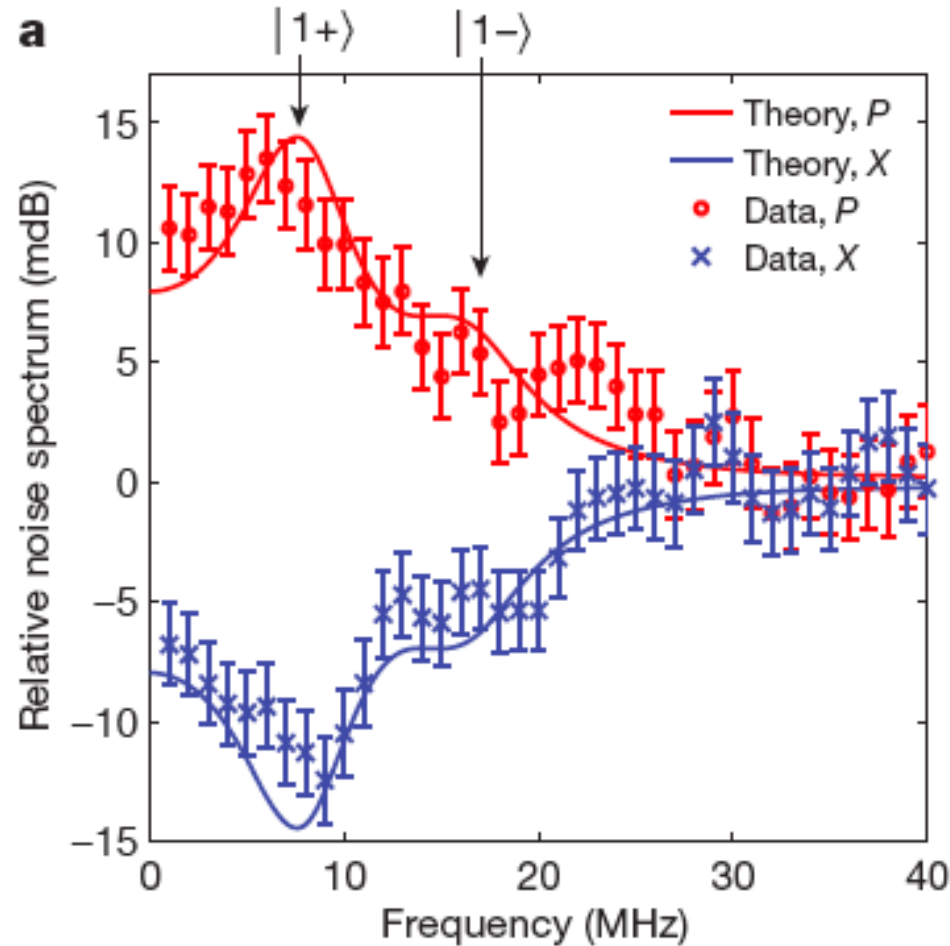
---

doi:10.1038/nature10170

## Observation of squeezed light from one atom excited with two photons

A. Ourjoumtsev<sup>1,2</sup>, A. Kubanek<sup>1</sup>, M. Koch<sup>1</sup>, C. Sames<sup>1</sup>, P. W. H. Pinkse<sup>1</sup>†, G. Rempe<sup>1</sup> & K. Murr<sup>1</sup>





# Los límites del acoplamiento

Si el interés esta univamente en  $g$ , el acoplamiento entre el dipolo y el modo, veamos que pasa en Electrodinámica Cuántica de circuitos (circuit QED)

nature

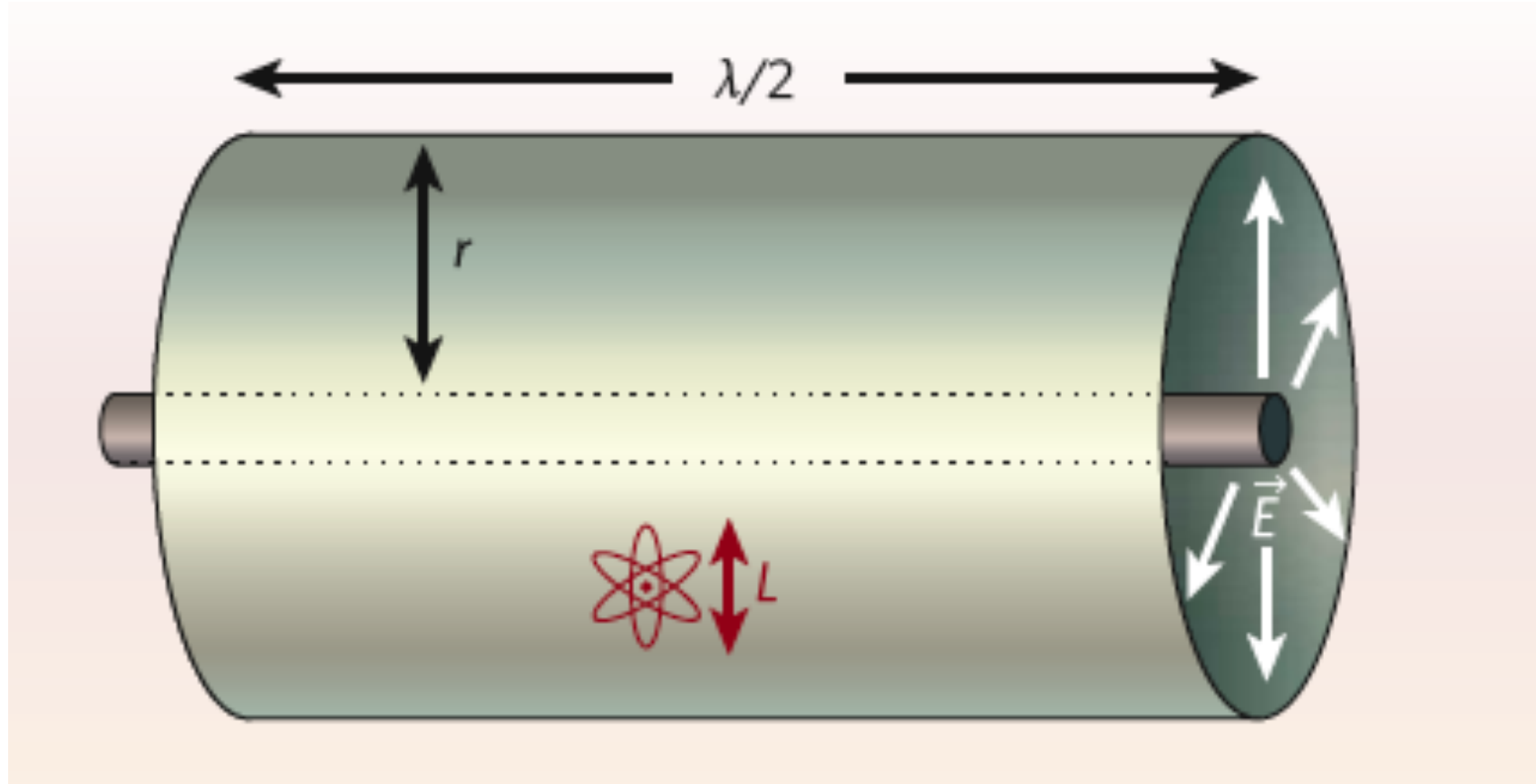
Vol 451 | 7 February 2008

---

# Wiring up quantum systems

R. J. Schoelkopf and S. M. Girvin

The emerging field of circuit quantum electrodynamics could pave the way for the design of practical quantum computers.



El dipolo  $d$  con dimensiones características  $L$  es una cavidad coaxial de longitud  $\lambda/2$  y radio  $r$

El volumen del modo coaxial está mucho mas  
confinado que  $\lambda^3$

$$g = \frac{dE_v}{\hbar}; \quad d = eL$$

$$V_{eff} = \pi r^2 \lambda / 2;$$

$$E_v = \frac{1}{r} \sqrt{\frac{\hbar \omega^2}{2\pi^2 \epsilon_0 c}}$$

$$\frac{g}{\omega} = \left( \frac{L}{r} \right) \sqrt{\frac{e^2}{2\pi^2 \epsilon_0 \hbar c}} = \left( \frac{L}{r} \right) \sqrt{\frac{2\alpha}{\pi}}$$

La constante de acoplamiento puede ser un porcentaje de la frecuencia de excitación.

$$\frac{g}{\omega} = \left(\frac{L}{r}\right) \sqrt{\frac{2\alpha}{\pi}} = 0.068 \left(\frac{L}{r}\right)$$

El modelo de Jaynes Cummings ya no es necesariamente el adecuado.

## Bibliografía:

1. Hyatt M. Gibbs, *Optical Bistability: Controlling Light with Light* (Academic Press, Orlando, 1985).
2. L. A. Lugiato, *Optical Bistability*, in *Progress in Optics*, edited by E. Wolf (North-Holland, Amsterdam, 1984), Vol. XXI, pp. 69-216.
3. *Cavity Quantum Electrodynamics*, edited by Paul R. Berman, *Advances in Atomic Molecular and Optical Physics Supplement 2*, Academic Press, Boston 1994.
4. S. Haroche and J. M. Raimond, *Exploring the Quantum: Atoms, Cavities, and Photons* (Oxford Univ. Press, 2006).
5. J. Gripp, S. L. Mielke, L. A. Orozco, and H. J. Carmichael, "Anharmonicity of the Vacuum Rabi Peaks in a Many-Atom System," *Phys. Rev. A* **54**, R3746 (1996).
6. S. L. Mielke, G. T. Foster, J. Gripp, and L. A. Orozco, "Time Response of a coupled atoms-cavity system," *Opt. Lett.* **22**, 325 (1997).
7. Gripp, S. L. Mielke, L. A. Orozco, "Evolution of the Vacuum Rabi Peaks in a detuned Atoms-Cavity System," *Phys. Rev. A* **56**, 3262 (1997).

Gracias